

T.H. ed.

FORSCHUNG - AUSBILDUNG - WEITERBILDUNG
BERICHT Nr. 20

BERECHNUNG DES SCHALLDRUCKS
IM INNERN EINES QUADERS

200 *
H. BABOVSKY

ZWISCHENBERICHT: UNTERSUCHUNG ÜBER DAS SCHALLFELD
IN EINEM GESCHLOSSENEN QUADER

APRIL 1984

ABSCHLUSSBERICHT: JANUAR 1985

UNIVERSITÄT KAISERSLAUTERN
FACHBEREICH MATHEMATIK
ERWIN-SCHRÖDINGER-STRASSE
6750 KAISERSLAUTERN

BERECHNUNG DES SCHALLDRUCKS
IM INNERN EINES QUADERS

H. BABOVSKY

ZWISCHENBERICHT:

UNTERSUCHUNG ÜBER DAS SCHALLFELD
IN EINEM GESCHLOSSENEN QUADER

APRIL 1984

1. Einleitung

Die Aufgabe dieses Projektes ist die Untersuchung des Schallfeldes, das sich in einem geschlossenen Quader bei Erregung durch eine punktförmige Schallquelle einstellt. Eine zentrale Rolle spielt hierbei die Wechselwirkung zwischen dem Schallfeld und den Quaderplatten, die zu Schwingungen angeregt werden und so dem Schallfeld Energie entziehen.

Der Zweck dieser Untersuchung ist, Erkenntnisse für die Berechnung des Innendrucks zu Fahrzeugkarosserien zu gewinnen. Dies muß bei der Dimensionierung des Quaders und bei der Wahl des Plattenmaterials berücksichtigt werden.

Numerische Berechnungen des Schalldrucks in einem Quader wurden beispielsweise in [1] durchgeführt. Das Ergebnis zeigt, daß zwei Arten von Resonanzen auftreten: Zum einen Strukturresonanzen, die durch Eigenschwingungen der Wände hervorgerufen werden und die von den Wandabmessungen und dem Plattenmaterial abhängen, zum anderen Hohlraumresonanzen, die auftreten, wenn die Luftwellenlänge in einem geeigneten Verhältnis zu den Abmessungen des Hohlraums steht.

Es ist sehr zweifelhaft, welche Rückschlüsse gezogen werden können von den numerischen Resultaten in [1] auf kompliziertere Geometrien, wie sie bei Fahrzeugkarosserien vorliegen. Eine tiefere Einsicht in die Kopplung zwischen Schallfeld und Platten-schwingungen vor allem in den Resonanzbereichen ist nur zu erwarten, wenn die Berechnung dieser Wechselwirkung weitgehend analytisch durchgeführt wird. Eine solche analytische Berechnung ist das Ziel dieses Projektes.

Der vorliegende Zwischenbericht befaßt sich mit einem Teilproblem: Untersucht wird die Wechselwirkung einer einzelnen Platte und der Luft, wenn die Platte in einem einzelnen Eigenmode angeregt wird. Als Randbedingungen für die Luft werden auf einer Seite der Platte die Abstrahlung nach außen, auf der anderen Seite ein zwischen starren Platten sich aufbauendes Schallfeld angenommen. Damit sollen die komplexeren Verhältnisse beim Quader weitgehend angenähert werden. Dieser Bericht soll Aufschluß geben über folgende Fragen bezüglich der Modellbildung des Gesamtproblems:

- a) Wie müssen Parameter (z.B. Materialkonstanten) gewählt werden, um beobachtbare Phänomene einer Fahrzeugkarosserie (z.B. Eigenfrequenzen, Energieaufnahme) möglichst gut zu simulieren?
- b) Welche Effekte sind für die Energiebilanz unerheblich und daher zu vernachlässigen?
- c) Wie sind die Randbedingungen für das Druckfeld an den Plattenoberflächen zu wählen?

Gerade die Beantwortung der letzten Frage ist für die Beschreibung der Kopplung Wand-Hohlraum von besonderer Bedeutung. Hier kann insbesondere nicht der Ansatz gewählt werden, der üblicherweise in der Standardliteratur (vgl. z.B. [2]) oder zum größten Teil in Modellrechnungen (z.B. [3], [4], [5]) benutzt wird und der für unendlich große Platten hergeleitet wurde. Eine detaillierte Untersuchung der Randbedingungen zeigt erst die charakteristischen Merkmale der Wand-Hohlraum-Wechselbeziehung, nämlich eine Kopplung der verschiedenen Eigenmodes der Platte durch die angrenzende Luftschicht und das unterschiedliche Verhalten der einzelnen Eigenmodes im Bereich der Hohlraumresonanzen.

In Abschnitt 2 wird das in dieser Arbeit behandelte Problem kurz geschildert. Abschnitt 3 beschreibt die zur Lösung nötigen Gleichungen. Wichtig ist hier vor allem der Teil 3c), in dem die Kopplung zwischen Platteneigenmodes und abgestrahltem Luftdruck beschrieben wird. In Abschnitt 4 wird ein gekoppeltes Gleichungssystem zur Berechnung der Plattenschwingungen aufgestellt. Fragen der Modellbildung werden in Abschnitt 5 untersucht, wo auch an zwei Beispielen einfache entkoppelte Gleichungen gelöst werden. Schlußfolgerungen - insbesondere im Hinblick auf das komplexe Ausgangsproblem sowie ein Ausblick auf einen Lösungsansatz hierzu folgen im letzten Abschnitt.

2. Die Problemstellung

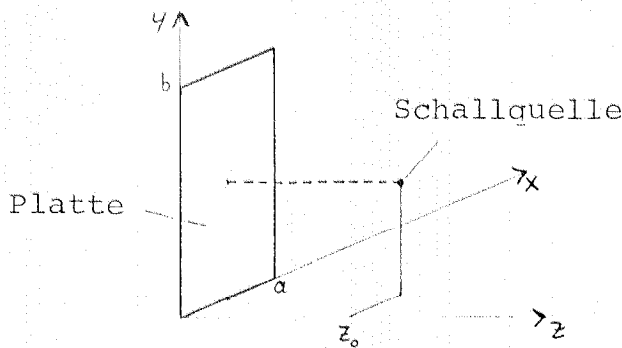


Bild 1.-

Eine rechteckige Platte mit den Kantenlängen a und b werde durch eine punktförmige Schallquelle angeregt. Wir wählen ein Koordinatensystem so, daß die Platte in der xy-Ebene liegt und die Kanten die Koordinaten $(0,0)$, $(a,0)$, $(0,b)$, (a,b) haben. Weiterhin genügt es für die in der Einleitung formulierten Fragen anzunehmen, daß die Schallquelle auf der Symmetrieachse der Platte liegt, also die Koordinaten $(\frac{a}{2}, \frac{b}{2}, z_0)$, $z_0 > 0$ hat (s. Skizze). Eine Konsequenz hiervon ist, daß nur achsensymmetrische Eigenmodes der Platte angeregt werden.

Die Kanten der Platte seien drehbar aufgestützt.

Die Schallquelle rege eine einfrequente Kugelwelle an. Wir untersuchen den eingeschwungenen Zustand der Platte, d.h. die Zeitabhängigkeit jeder zeitlich veränderlichen Größe ist gegeben durch den Faktor $e^{i\omega t}$, wobei ω die Erregerfrequenz ist.

3. Die Gleichungen

a) Biegeschwingungen:

Die Schwingungen einer ungedämpften Platte, auf die eine (periodische) Kraft $f(t)$ einwirkt, werden beschrieben durch die Differentialgleichung

$$(1) \quad m \cdot \frac{\partial^2 w}{\partial t^2} + B \cdot \Delta \Delta w = f(t)$$

mit

$m = \rho \cdot d$ = Masse/Flächeneinheit

ρ = Dichte des Plattenmaterials

d = Dicke der Platte

$$B = \frac{E \cdot d^3}{12 \cdot (1 - \mu^2)} = \text{Biegesteife}$$

E = Elastizitätsmodul

μ = Poissonsche Zahl.

Zur vollständigen Beschreibung der Schwingungen genügt also die Kenntnis der Größen ρ , d , E , μ .

Mit Hilfe der Biegeeigenschwingungen

$$m_{k\ell}(x, y) = \sin \frac{k\pi x}{a} \sin \frac{\ell\pi y}{b} \quad (\text{s. Skizze}), \quad k, \ell = 1, 2, 3, \dots$$

(aus Symmetriegründen müssen hier nur ungerade k, ℓ berücksichtigt werden) mit den Eigenfrequenzen

$$\omega_{k\ell} = \sqrt{\frac{B}{m} \cdot \left(\frac{k^2}{a^2} + \frac{\ell^2}{b^2} \right)} \cdot \pi^2$$

kann die Gleichung (1) vereinfacht werden. Setzen wir nämlich

$$w(t) = \sum_{k, \ell=1}^{\infty} g_{k\ell}(t) \cdot m_{k\ell},$$

$$f(t) = \sum_{k, \ell=1}^{\infty} f_{k\ell}(t) \cdot m_{k\ell},$$

so reduziert sich (1) auf das System der gewöhnlichen Differentialgleichungen

$$(2) \quad \ddot{g}_{k\ell} + \omega_{k\ell}^2 g_{k\ell} = \frac{1}{m} f_{k\ell}.$$

b) Die einfallende Schallwelle:

Von einer infrequentigen Schallquelle mit Frequenz ω rührt an der Plattenoberfläche ein Druck $e^{i\omega t} \cdot p^{\text{ein}}(x, y)$ her. Mit Hilfe der Fourier-Koeffizienten $\hat{p}^{\text{ein}}(k_x, k_y)$ können wir schreiben

$$p^{\text{ein}}(x, y) = \frac{1}{4\pi^2} \int_{-\infty}^{\infty} \int_{-\infty}^{\infty} \hat{p}^{\text{ein}}(k_x, k_y) e^{-i(k_x x + k_y y)} dk_y dk_x.$$

Aus der Wellengleichung folgt leicht für die Schallschnelle in z-Richtung (aus der Beziehung $-\nabla p = \rho_L \dot{v}$)

$$e^{i\omega t} \cdot v_{\text{ein}} = - \frac{e^{i\omega t}}{4\pi^2 \rho_L \omega} \int_{-\infty}^{\infty} \int_{-\infty}^{\infty} k_z \cdot \hat{p}_{\text{ein}}(k_x, k_y) e^{-i(k_x x + k_y y)} dk_y dk_x$$

$$\text{mit } k_z = \sqrt{\frac{\omega^2}{c^2} - k_x^2 - k_y^2}.$$

Die Zerlegung des Drucks in Eigenmodes der Platte erfolgt nach den Formeln

$$p_{\text{ein}}^{\text{ein}}(x, y) = \sum_{k, \ell=1}^{\infty} p_{k\ell}^{\text{ein}} m_{k\ell}(x, y)$$

mit

$$p_{k\ell}^{\text{ein}} = \frac{4}{ab} \int_0^b \int_0^a p_{\text{ein}}^{\text{ein}}(x, y) \sin \frac{k\pi x}{a} \sin \frac{\ell\pi y}{b} dx dy.$$

Definieren wir

$$ss_{k\ell}(k_x, k_y) = \int_{x=0}^a e^{-ik_x x} \sin \frac{k\pi x}{a} dx \cdot \int_{y=0}^b e^{-ik_y y} \sin \frac{\ell\pi y}{b} dy,$$

so ist

$$p_{k\ell}^{\text{ein}} = \frac{1}{\pi ab} \int_{-\infty}^{\infty} \int_{-\infty}^{\infty} ss_{k\ell}(k_x, k_y) \hat{p}(k_x, k_y) dk_y dk_x.$$

c) Reflektierte und abgestrahlte Welle:

Als schwierig, aber für den Energieaustausch Luft-Wand von großer Bedeutung erweist sich die Berechnung des Drucks an den Plattenoberflächen. Da die Plattenabmessungen in der Größenordnung von 1m und die untersuchten Frequenzen im Bereich von 50 Hz bis 200 Hz liegen sollen, können Formeln, die für große Platten hergeleitet wurden, nicht verwendet werden. Wie z.B. aus [6] hervorgeht, könnte damit insbesondere die Schallabstrahlung, die für kleine Platten nicht unerheblich sein muß, nicht beschrieben werden.

Zur Berechnung des Drucks auf der Seite $z > 0$ wenden wir ein von Heckl [4] beschriebenes Verfahren an. Hierzu nehmen wir an, daß die Platte von schalharten Wänden umgeben ist (s. Skizze).

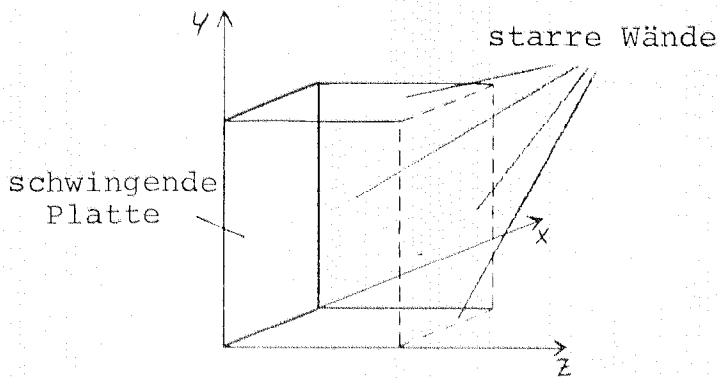


Bild 2.-

Dann können wir den Druck zerlegen in Eigenmodes, wobei zu berücksichtigen ist, daß sich an den schallharten Wänden Druckbäuche befinden. Unter Berücksichtigung der Achsensymmetrie des einfallenden Schalldrucks können wir also ansetzen:

$$(3) \quad p(x,y,z) = e^{i\omega t} \sum_{r,s=0}^{\infty} a_{rs} \cos \frac{r\pi x}{a} \cos \frac{s\pi y}{b} e^{\pm i k_z^{rs} z},$$

wobei die Summation nur über gerade r und s zu erstrecken ist und

$$k_z^{rs} = \sqrt{\frac{\omega^2}{c^2} - \left(\frac{r\pi}{a}\right)^2 - \left(\frac{s\pi}{b}\right)^2}.$$

Der reflektierte Schalldruck bei einer ruhenden, schallharten Wand ist $p^{\text{ref}} = p^{\text{ein}}$.

Durch die Schwingungen der Platte wird von der Platte Schall abgestrahlt. Für die Schallabstrahlung muß einerseits der Ansatz (3) gelten, andererseits muß die Bedingung

$$(4) \quad \left. \frac{\partial p}{\partial z} \right|_{z=0} = -\rho_L \ddot{w}$$

gelten, die besagt, daß Plattenschnelle und Schnelle der Luft gleich sein müssen.

Wir betrachten einen Mode: $w = A \cdot e^{i\omega t} \cdot m_{k\ell}$, k, ℓ ungerade.

Der Ansatz (3) ergibt mit (4) die Gleichung

$$\sum_{r,s} a_{rs} \cos \frac{r\pi x}{a} \cos \frac{s\pi y}{b} \cdot (\pm i k_z^{rs}) = -\omega^2 A \rho_L m_{k\ell}.$$

Aus der Entwicklung

$$\cos \frac{r\pi x}{a} \cos \frac{s\pi y}{b} = \sum_{k',\ell'} \beta_{k',\ell'}^{rs} m_{k',\ell'}$$

mit

$$\beta_{kl}^{rs} = \frac{16kl}{(k^2 - r^2)(l^2 - s^2)\pi^2}$$

ergibt

$$\sum_{k', l'} \beta_{k', l'}^{rs} \cdot \left(\sum_{r, s} a_{rs} \cdot (\pm i k_z^{rs}) \right) m_{k', l'} = -\omega^2 A_{\rho L} m_{kl}.$$

Diese Gleichung ist erfüllt für

$$a_{rs} = \frac{\pm i \alpha_{rs}^{kl} \omega A_{\rho L}}{k_z^{rs}},$$

wobei

$$\alpha_{rs}^{kl} = \begin{cases} \frac{4}{kl\pi^2} & \text{für } r=s=0, \\ \frac{8k}{l\pi^2(k^2-r^2)} & \text{für } r \neq 0, s=0, \\ \frac{8l}{k\pi^2(l^2-s^2)} & \text{für } r=0, s \neq 0, \\ \frac{16kl}{\pi^2(k^2-r^2)(l^2-s^2)} & \text{für } r \neq 0, s \neq 0. \end{cases}$$

Damit ist

$$(5) \quad p^{ab} = i e^{i\omega t} \cdot \omega^2 A_{\rho L} \sum_{k', l'} \left\{ \sum_{r, s} \frac{\pm \beta_{k', l'}^{rs} \alpha_{rs}^{kl}}{k_z^{rs}} \right\} m_{k', l'}.$$

Folgendes ist an dieser Formel bemerkenswert:

- 1) Eine Schwingung der Platte in einem Eigenmode führt auch zur Abstrahlung der anderen Modes.
- 2) Zur Berücksichtigung der Dämpfung genügt es nicht, lediglich reelle Dämpfungskonstanten einzuführen. Wichtig ist auch die Phase der Summe

$$p_{k', l'}^{kl} = \sum \frac{\pm \beta_{k', l'}^{rs} \alpha_{rs}^{kl}}{k_z^{rs}}.$$

- 3) Für spezielle Werte von ω treten in (5) Singularitäten auf, an denen ein Umschlag von unendlich großen imaginären Werten auf unendlich große komplexe Werte stattfindet. Da ein solcher Umschlag unrealistisch ist, muß er für Berechnungen geeignet modifiziert werden.

Für den abgestrahlten Druck auf der Seite $z < 0$ ist das oben beschriebene Hohlraummodell nicht sinnvoll. Hier läßt das folgende Modell eine gute Beschreibung der Druckverhältnisse erwarten: Die Platte ist eingelagert in eine unendlich große, starre Platte in der xy -Ebene (s. Skizze).

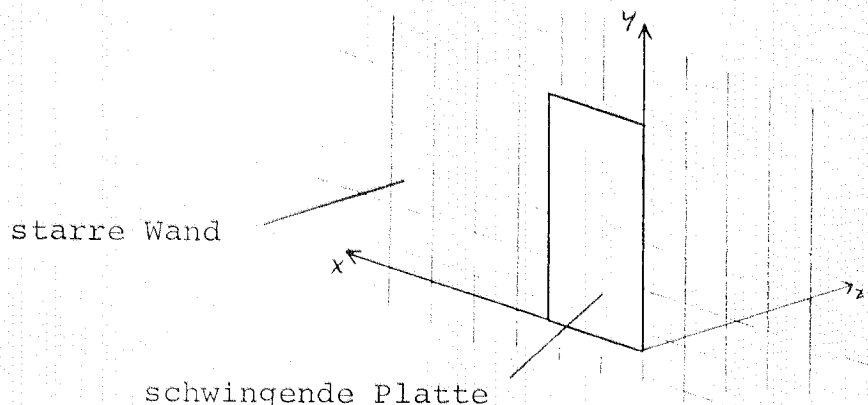


Bild 3.-

Wir nehmen an, daß die Platte in der Form

$$w(t) = A e^{i\omega t} m_{k\ell}$$

schwingt. Die Randbedingung lautet dann

$$(6) \quad \left. \frac{\partial p}{\partial z} \right|_{z=0} = -A \omega^2 \rho_L e^{i\omega t} m_{k\ell}.$$

(Es ist zu beachten, daß $m_{k\ell}(x,y) = 0$ außerhalb der schwingenden Platte, also außerhalb des Rechtecks $[0,a] \times [0,b]$.)

Wir zerlegen den Druck in der xy -Ebene in Fourierkomponenten:

$$p^{k\ell}(x,y) = e^{i\omega t} \cdot \frac{1}{4\pi^2} \int_{-\infty}^{\infty} \int_{-\infty}^{\infty} \hat{p}^{k\ell}(k_x, k_y) e^{i(k_x x + k_y y)} dk_y dk_x.$$

Ähnlich wie in Abschnitt 3.b) folgt aus der Wellengleichung

$$p^{k\ell}(x,y,z) = e^{i\omega t} \cdot \frac{1}{4\pi^2} \int_{-\infty}^{\infty} \int_{-\infty}^{\infty} \hat{p}^{k\ell}(k_x, k_y) e^{i(k_x x + k_y y + k_z z)} dk_y dk_x,$$

wobei $k_z = \sqrt{\left(\frac{\omega}{c}\right)^2 - k_x^2 - k_y^2}$ ist.

Da die Welle in den Halbraum $z < 0$ abgestrahlt wird, ist als Vorzeichen vor k_z "+" zu wählen, falls k_z reell ist und andernfalls "-". Einsetzen in Gleichung (6) führt auf folgendes Ergebnis:

$$m_{k\ell}(x,y) = \frac{1}{4\pi^2} \int_{-\infty}^{\infty} \int_{-\infty}^{\infty} \frac{\pm k_z}{A \omega^2 \rho_L} \hat{p}^{k\ell}(k_x, k_y) e^{i(k_x x + k_y y)} dk_y dk_x.$$

Dies ist aber gerade die Fourier-Zerlegung von $m_{k\ell}(x,y)$.

Also muß

$$\frac{k_z i}{A\omega^2 \rho_L} \hat{p}^{k\ell}(k_x, k_y)$$

gleich dem entsprechenden Fourier-Koeffizienten $\hat{m}_{k\ell}(k_x, k_y)$ von $m_{k\ell}$ sein. Die Koeffizienten $\hat{m}_{k\ell}$ lassen sich leicht berechnen: Es ist

$$\begin{aligned} \hat{m}_{k\ell}(k_x, k_y) &= \int_{x=0}^a \int_{y=0}^b m_{k\ell}(x, y) e^{-i(k_x x + k_y y)} dy dx \\ &= \int_0^a \sin \frac{k \pi x}{a} e^{-i k_x x} dx \cdot \int_0^b \sin \frac{\ell \pi y}{b} e^{-i k_y y} dy \\ &= \frac{k \pi a}{(k \pi)^2 - (k_x a)^2} (1 - (-1)^k e^{i k_x a}) \cdot \frac{\ell \pi b}{(\ell \pi)^2 - (k_y b)^2} (1 - (-1)^\ell e^{i k_y b}). \end{aligned}$$

Damit ist $\hat{m}_{k\ell}$ bekannt und

$$\hat{p}^{k\ell}(k_x, k_y) = \pm i \frac{A\omega^2 \rho_L}{k_z} \cdot \hat{m}_k(k_x, k_y).$$

Die Zerlegung von $p^{k\ell}$ in Eigenmodes der Platte erfolgt nach den Formeln von Abschnitt 3.b). Es ist

$$p^{k\ell} = e^{i\omega t} \cdot i A\omega^2 \rho_L \sum_{k', \ell'} \frac{-k}{p_{k', \ell'}} m_{k', \ell'}$$

mit

$$(7) \quad \frac{-k}{p_{k', \ell'}} = \frac{1}{\pi^2 ab} \int_{-\infty}^{\infty} \int_{-\infty}^{\infty} \frac{\pm 1}{k_z} \cdot \hat{m}_{k\ell}(k_x, k_y) \cdot \hat{m}_{k', \ell'}(k_x, k_y) dk_y dk_x.$$

Dies ist die der Formel (5) entsprechende Gleichung für den Außendruck.

d) Dämpfung

Die strukturelle Dämpfung in der Platte wird berücksichtigt, indem die Biegesteife B durch die komplexe Größe $(1-i\eta)B$ ersetzt wird.

4. Die Lösung

Aus dem Ansatz (1) erhalten wir für die Platte folgende Bewegungsgleichung:

$$m\ddot{w} + B \cdot (1 - i\eta) \Delta \Delta w = -p^+ + p^-,$$

wobei p^+ der Druck auf der Seite $z > 0$, p^- der Druck auf der Seite $z < 0$ ist.

Wir betrachten hier nur den stationären Fall, bei dem die Zeitabhängigkeit von $w(t)$ gegeben ist durch den Faktor $e^{i\omega t}$. Eine Zerlegung von $w(t)$ in Platteneigenmodes, d.h. der Ansatz

$$w(t) = e^{i\omega t} \cdot \sum_{k, \ell=1}^{\infty} A_{k\ell} m_{k\ell}$$

führt nach den Ausführungen des vorangegangenen Abschnitts auf die gekoppelten Gleichungen

$$\begin{aligned} A_{k\ell} \left(-\omega^2 \frac{2i\omega^2 \rho L}{m} (p_{k\ell}^{k\ell} - \bar{p}_{k\ell}^{k\ell}) + (1 - i\eta) \omega_{k\ell}^2 \right) \\ (8) \quad = \frac{2}{m} p_{k\ell}^{ein} + \frac{i\omega^2 \rho L}{m} \sum_{(k', \ell') \neq (k, \ell)} A_{k'\ell'} (\bar{p}_{k\ell}^{k'\ell'} - p_{k\ell}^{k'\ell'}). \end{aligned}$$

Aus diesen Gleichungen können die Unbekannten $A_{k\ell}$ berechnet werden. Zu beachten ist, daß die Drucke $p_{k\ell}^{k\ell}$ und $\bar{p}_{k\ell}^{k\ell}$ komplexe Größen sind, die zur Dämpfung beitragen. Dies darf vor allem im Bereich der Strukturresonanzen nicht vernachlässigt werden.

5. Berechnung von Modellgleichungen

Dieser Abschnitt dient dazu, an Modellrechnungen qualitative Aussagen über das komplexe, in der Einleitung beschriebene Modell zu machen. Interessant ist hierbei vor allem das Verhalten der Platte im Bereich der Hohlraum- und Strukturresonanzen. Die Abmessungen der Platte und Materialkonstanten werden in einem Bereich gewählt, der für die Modellierung von Karosserien interessant ist.

a) Die Platte

Als Abmessungen der Platte wählen wir $a = 1.1$ m, $b = 1.9$ m.

Bei der Bestimmung der Materialkonstanten gehen wir von einer

2 mm dicken Blechplatte aus. Wir wählen

$$\rho = 7.8 \frac{\text{g}}{\text{cm}^3}$$

$$E = 200 \cdot 10^{10} \frac{\text{dyn}}{\text{cm}^2} = 2 \cdot 10^{12} \frac{\text{g}}{\text{cm sec}^2}$$

$$\mu = 0.3 .$$

(Diese Daten sind [9] entnommen.)

Weitere Konstanten: $\eta = 10^{-3}$, $c = 340 \frac{\text{m}}{\text{sec}}$, $\rho_L = 1.2 \frac{\text{kg}}{\text{m}^3}$.

Es folgt für die Biegesteife:

$$B = \frac{E \cdot d^3}{12(1-\mu^2)} = 1.47 \cdot 10^9 \frac{\text{g cm}^2}{\text{sec}^2} ,$$

für die Masse pro Flächeneinheit: $m = 1.56 \frac{\text{g}}{\text{cm}^2}$

und für die Biegeeigenfrequenzen:

$$f_{k\ell} = \frac{\pi}{2} \cdot \sqrt{\frac{B}{m}} \cdot \left(\frac{k^2}{a^2} + \frac{\ell^2}{b^2} \right) = 3.99 k^2 + 1.34 \ell^2 \quad [\text{sec}^{-1}] .$$

Bei dieser Wahl der Konstanten liegt die tiefste Eigenfrequenz bei 5.33 Hz, und im uns interessierenden Bereich zwischen 50 Hz und 200 Hz liegen 46 Eigenfrequenzen. Dies ist für die Modellierung einer Karosserie unrealistisch. Der Grund ist, daß die Wände von Karosserien in der Regel gekrümmt (und dadurch fest eingespannt) sind, wodurch die Größe der schwingenden Fläche verringert wird. Zwei Möglichkeiten zur realistischen Modellierung bieten sich an:

- 1) Einführung einer effektiven Biegesteife B_{eff} , die größer ist als B .
- 2) Zerlegung der Platte in einen starren Rand und einen schwingenden Mittelteil. (Dieser Weg wurde z.B. in [1] gewählt.)

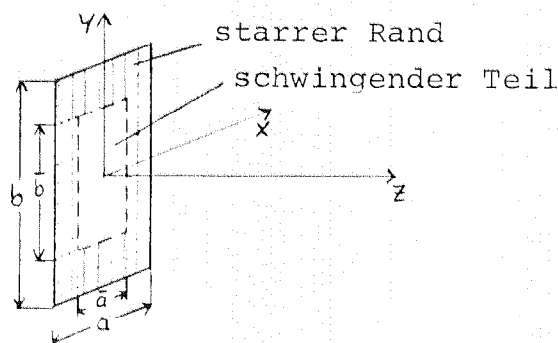


Bild 4.-

Bei der ersten Möglichkeit müßte die Biegesteife drastisch erhöht werden. Ein Faktor 25 beispielsweise ergäbe als niedrigste Frequenz 26.65 und insgesamt 8 Eigenfrequenzen im Bereich von 50 Hz bis 200 Hz. Durch einen solchen Eingriff würde aber die Wechselwirkung Luft-Platte stark verfälscht. Denselben Einfluß auf die Frequenz hat eine Verringerung der schwingenden Fläche um den Faktor 5, also $\bar{a} = 49.19$ cm und $\bar{b} = 84.97$ cm. Es ist zu erwarten, daß dieser Weg die realistischeren Werte liefert.

Unbeeinflusst von diesen Modellierungsfragen sind die Hohlraum-eigenfrequenzen. Sie sind gegeben durch

$$\bar{f}_{k\ell} = \frac{1}{2\pi} c \cdot \sqrt{\left(\frac{\pi k}{a}\right)^2 + \left(\frac{\pi \ell}{b}\right)^2}.$$

Hier liegt die niedrigste Frequenz bei 89.47 Hz, und im Bereich zwischen 50 Hz und 200 Hz liegen 4 Eigenfrequenzen.

$\ell =$ $k =$	0	1	2
0	(0)	89.47	178.94
1	154.55	178.58	236.45

Aus Symmetriegründen werden in unserem Fall nur Modes mit geraden Indizes k und ℓ angeregt, es tritt also nur die Eigenfrequenz 178.94 Hz auf.

b) Die Modellgleichungen

Die Lösung des gekoppelten Gleichungssystems (7) ist nur numerisch zu bewältigen. Dies ist die Aufgabe des zweiten Teils des Projekts. Aufschluß über Fragen der Modellierung und über das qualitative Verhalten der Lösungen geben aber die folgenden Modellgleichungen, die weitgehend analytisch gelöst werden können. Hierzu entkoppeln wir das Gleichungssystem, indem wir die Koeffizienten $p_{k\ell}^{k'\ell'}$ und $\bar{p}_{k\ell}^{k'\ell'}$ für $(k', \ell') \neq (k, \ell)$ gleich Null setzen. Der hierdurch entstehende Fehler hält sich in

Grenzen, da die zugehörigen Summanden in der Regel klein gegenüber $p_{k\ell}^{\text{ein}}$ sind.

Zu lösen sind demnach die Gleichungen:

$$A_{k\ell} \left(-\omega^2 + \frac{i\omega^2 p_{\text{I}}}{m} (p_{k\ell}^{k\ell} - \bar{p}_{k\ell}^{k\ell}) + (1 - i\eta) \omega_{k\ell}^2 \right) = \frac{2}{m} p_{k\ell}^{\text{ein}}$$

Lediglich die Größen $p_{k\ell}^{k\ell}$ und $\bar{p}_{k\ell}^{k\ell}$ sind nun noch zu bestimmen. Eine exakte Auswertung der Formeln des Abschnitts 3.c) ist ebenfalls nur numerisch möglich. Wir begnügen uns in diesem Zwischenbericht mit Näherungswerten.

Eine Abschätzung des Integrals (6) im uns interessierenden Frequenzbereich führt für $\bar{p}_{k\ell}^{k\ell}$ auf einen Wert von $+10^{-3}$ [m]. Diesen Wert legen wir unseren weiteren Rechnungen zugrunde.

c) Die Koeffizienten $p_{k\ell}^{k\ell}$

Wie aus Formel (5) hervorgeht, wachsen die Koeffizienten $p_{k\ell}^{k\ell}$ im Bereich von Hohlraumresonanzen (in unserem Fall also bei 178 Hz) stark an. Ob sich dieser Einfluß in einer größeren Umgebung der Resonanzfrequenz bemerkbar macht, ob die Resonanz also in der Praxis meßbar ist, hängt von den Indizes k und ℓ ab. Im vorgegebenen Frequenzbereich wirkt sich die Hohlraumresonanz nur auf die niedrigsten Eigenmodes der Platte aus. In Bild 5 sind p_{11}^{11} und p_{35}^{35} dargestellt. Besonderen Einfluß auf die Energieübertragung von der Luft auf die Wand hat der Realteil von $p_{k\ell}^{k\ell}$. Während die Resonanz von p_{11}^{11} stark ausgeprägt ist, ist sie im Falle p_{35}^{35} nicht mehr auflösbar.

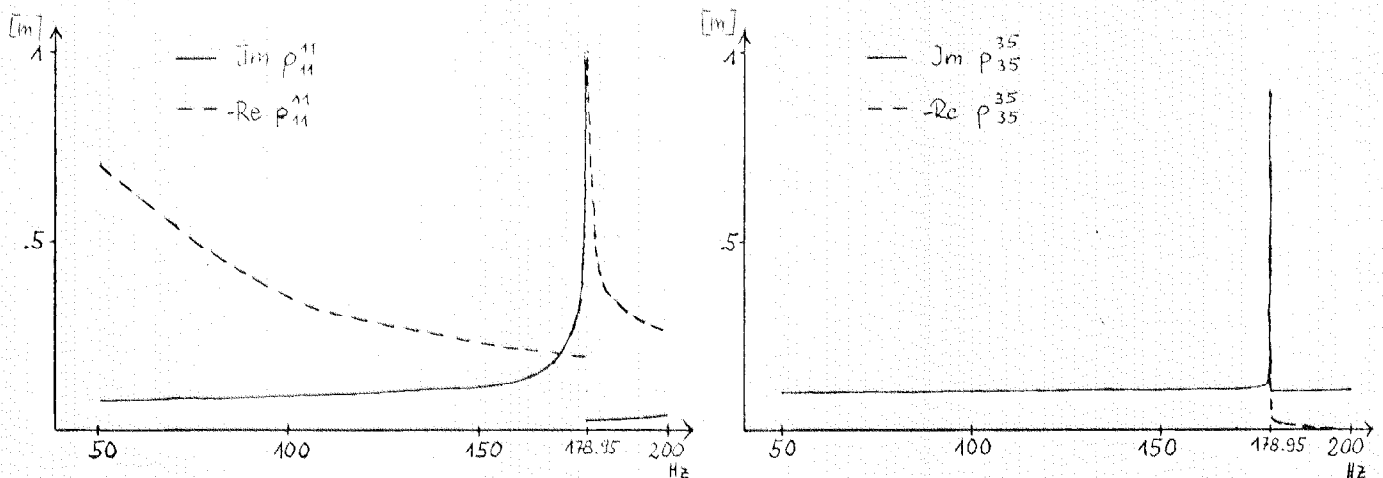


Bild 5.-

Die Kopplungsparameter hängen stark vom gewählten Modell ab. Wird ein Modell wie in Bild 4 gewählt, mit $\kappa = \frac{\bar{a}}{a} = \frac{\bar{b}}{b}$, so muß p_{kl}^{kl} berechnet werden aus

$$p_{kl}^{kl} = \sum_{r,s} \kappa^2 \cdot \cos^2 \frac{r\pi\kappa}{2} \cdot \cos^2 \frac{s\pi\kappa}{2} \cdot \frac{\tilde{\alpha}_{rs}^{kl} \cdot \tilde{\beta}_{kl}^{rs}}{k_z^{rs}}$$

mit

$$\tilde{\alpha}_{rs}^{kl} = \{4, 8, 16\} \cdot \frac{1}{\pi^2} \cdot \frac{k_l}{(k^2 - (\kappa r)^2)(l^2 - (\kappa s)^2)}$$

(wobei die Zahl 4, 8 oder 16 als Faktor wie in Abschnitt 3c) zu wählen ist) und

$$\tilde{\beta}_{kl}^{rs} = \frac{16}{\pi^2} \cdot \frac{k_l}{(k^2 - (\kappa r)^2)(l^2 - (\kappa s)^2)}$$

In Bild 6 sind die Koeffizienten p_{11}^{11} für einige Werte von κ dargestellt.

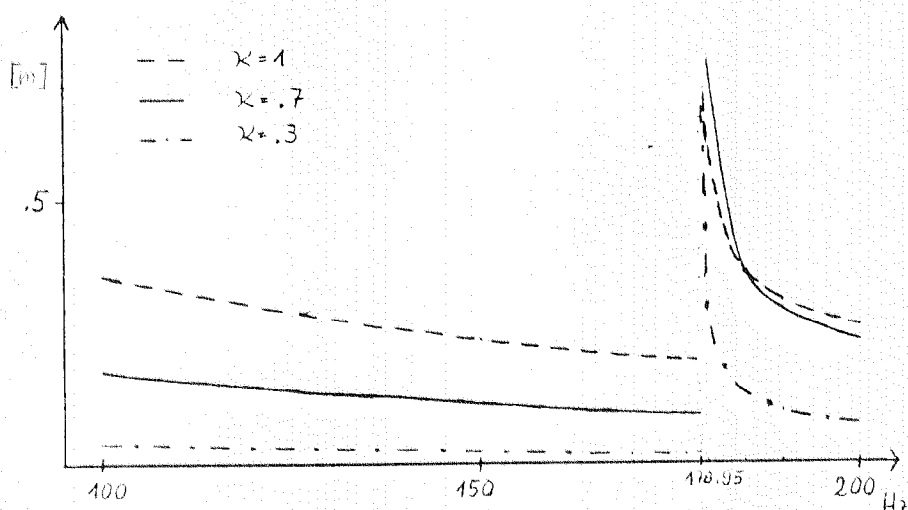


Bild 6.-

Es zeigt sich, daß bis auf die Resonanzstelle p_{11}^{11} mit abnehmenden κ kleiner wird. Dies ist auch zu erwarten, da mit κ die schwingende Fläche, die den Schalldruck erzeugt, kleiner wird. Im Resonanzbereich jedoch steigt der Wert von p_{11}^{11} mit abnehmenden κ zunächst an, um erst dann abzufallen. Eine spezielle Wahl des Modells wie in Bild 4 zur Anpassung der Eigenfrequenz kann sich demnach ungünstig auf die Beschreibung der Resonanzen auswirken. Bei der vollständigen Beschreibung des Quaders wird es ratsam sein, zu überprüfen, welche Resonanzen modellbedingt verstärkt werden.

d) Energiebilanz

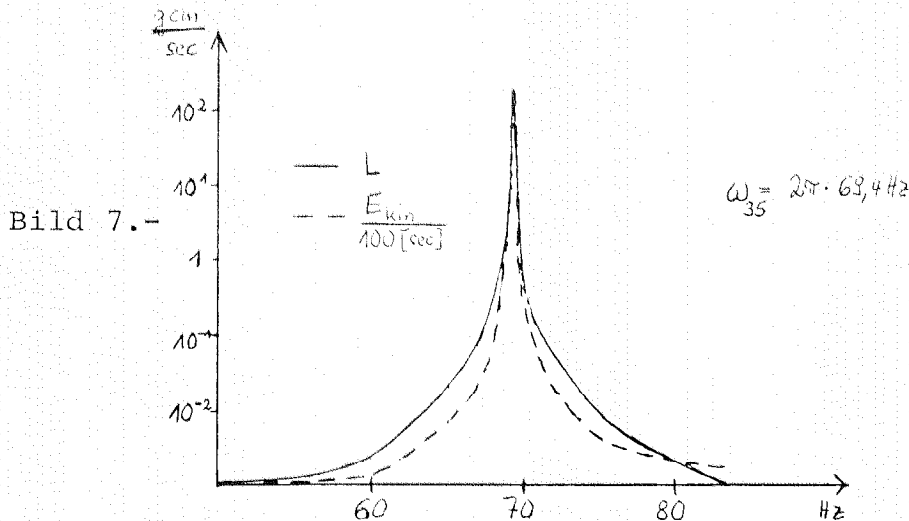
Die zentrale Frage ist: Wieviel Energie wird dem Schallfeld von der Platte entzogen? Wir gehen davon aus, daß an der Platte ein Druckfeld der Form $2p_{kl}^{ein} \cdot m_{kl} \cdot e^{i\omega t}$ herrscht, das die Plattenschwingung aufrecht erhält. Dabei geht Energie sowohl durch innere Dämpfung verloren als auch durch Schallabstrahlung, die in Abschnitt 3c) berechnet wurde.

(Das einfallende Druckfeld wird hier lediglich als Energiegröße betrachtet, über dessen Veränderung bei der Reflexion nichts ausgesagt wird. Das ist Thema der Nachfolgearbeit.)

Aus $A_{kl} = a_{kl} \cdot e^{i\varphi_{kl}}$ ergibt sich die von der Platte aufgenommene mittlere Leistung L aus der Formel

$$L = \frac{ab}{4} p_{kl}^{ein} \omega a_{kl} \sin \varphi_{kl}.$$

Exemplarisch beschreiben wir hier den Energieaustausch beim Plattenmode m_{35} . Das Ergebnis ist in Bild 7 dargestellt. Der Eingangsdruck beträgt $1 \frac{g}{sec \cdot cm}$.



Es ist zu erkennen, daß eine nennenswerte Energieaufnahme nur im Bereich der Strukturresonanz stattfindet. Der Einfluß der Hohlraumresonanz, die eine Energieaufnahme verhindert, ist hier nur gering. Das ändert sich, wenn beide Resonanzen eng beieinanderliegen. Das ist in Bild 8 zu sehen, wo die Materialkonstanten so angenommen wurden, daß die Eigenfrequenz der Platte bei 176 Hz liegt.

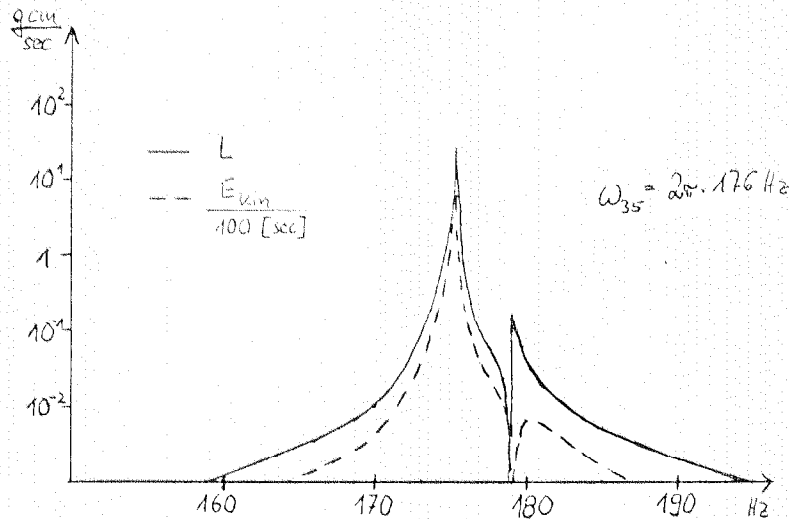


Bild 8.-

Aus den Bildern 7 und 8 ist zum Vergleich außerdem die maximale kinetische Energie der Platte abzulesen. Es zeigt sich, daß die während der Einschwingphase aufgenommene Energie wesentlich größer ist als die aufgenommene Energie im stationären Zustand. Es stellt sich hier die Frage wie weit ein mathematisch exakter stationärer Zustand praxisrelevant ist. Die Beschreibung des Modells wird möglicherweise realistischer, wenn angenommen wird, daß ein Teil der Schwingungsenergie ständig abgegeben wird (z.B. in die Schwingung des Rahmens, der in unserem Fall als starr angenommen wurde).

6. Schlußbemerkungen

a) Diskussion der Ergebnisse

Die Rechnungen ergeben eine komplizierte Wechselbeziehung zwischen Schallwelle und schwingender Platte. Von Einfluß von der Luft auf die Platte sind vor allem die Struktur- und Hohlraumresonanzen, insbesondere das Zusammenwirken dieser beiden.

Es zeigt sich, daß diese komplexen Beziehungen nicht von vornherein durch Einführung von Dämpfungskonstanten beschrieben werden können. Inwieweit eine solche Beschreibung mit geeigneten Modifikationen dennoch zu realistischen Ergebnissen führt, wird sich erst bei der Untersuchung am vollständigen

Quader zeigen, bei dem noch wesentlich weitreichendere Strukturen zu erwarten sind.

Dennoch sind die hier durchgeführten Rechnungen für eine Betrachtung des Gesamtproblems unerlässlich. Wie z.B. aus [7] hervorgeht, spielt der wechselseitige Einfluß zwischen Luft und Platte eine entscheidende Rolle auf das Entstehen von Hohlraumresonanzen im Quader. Welche rechnerischen Vereinfachungen vertretbar sind, wird erst durch eine Diskussion des Gesamtergebnisses gerechtfertigt werden können.

b) Ausblick

Folgende Vorgehensweise bei der vollständigen Behandlung des Quaders ist sinnvoll:

- Aufstellen eines Gleichungssystems zur Beschreibung der Wechselwirkung zwischen dem gesamten Schallfeld und dem Quader. (Bis jetzt wurde das Schallfeld weitgehend lediglich als Erregergröße für die Platte betrachtet.) Zu erwarten ist ein gekoppeltes Gleichungssystem, das sich in seiner Struktur nicht wesentlich vom System (8) unterscheidet.
- Beschreibung eines Algorithmus zur Lösung des vollständigen Gleichungssystems.
- Diskussion diverser Modellierungsfragen, wie sie insbesondere in Abschnitt 5 dieses Berichtes angesprochen werden.
- Berechnung und Diskussion der Lösungen, insbesondere Entscheidung, welche Effekte rein modellbedingt und welche praxisrelevant sind.
- Ausführliche Überlegungen, welche praktischen Konsequenzen für die Berechnung - auch komplizierter Strukturen, wie z.B. Karosserien - gezogen werden können.

Literatur:

- [1] H. BURFEINDT: "Innengeräuschberechnung unter Berücksichtigung der Hohlraum/ Strukturkopplung und Dämpfung durch poröse Absorber mit NASTRAN" (1983)
- [2] L. CREMER/H. MÜLLER: "Die wissenschaftlichen Grundlagen der Raumakustik", Band II, S. Hirzel Verlag, Stuttgart (1976)
- [3] K. GÖSELE: "Schallabstrahlung von Platten, die zu Biegeschwingungen angeregt sind", Acustica 3 (1953)
- [4] M. HECKL: "Schallabstrahlung von Platten bei punktförmiger Anregung", Acustica 9 (1959)
- [5] M. HECKL: "Schallabstrahlung von Platten, die durch hydrodynamische Wechseldruckfelder angeregt werden", Müller-BBN GmbH, München, Bericht Nr. 1636 (1967)
- [6] W. WESTPHAL: "Zur Schallabstrahlung einer zu Biegeschwingungen angeregten Wand", Acustica 4 (1954)
- [7] K. GÖSELE: "Abstrahlungsverhalten von Wänden", Acustica 6 (1956)
- [8] J. MUHEIM: "Verfahren zur Berechnung der akustischen Eigenfrequenzen und Stehwellenfelder komplizierter Hohlräume", Dissertation, Eidgenössische TH, Zürich (1972)
- [9] L. CREMER/M. HECKL: "Körperschall", Springer-Verlag, Berlin (1967)

BERECHNUNG DES SCHALLDRUCKS
IM INNERN EINES QUADERS

H. BABOVSKY

ABSCHLUSSBERICHT

JANUAR 1985

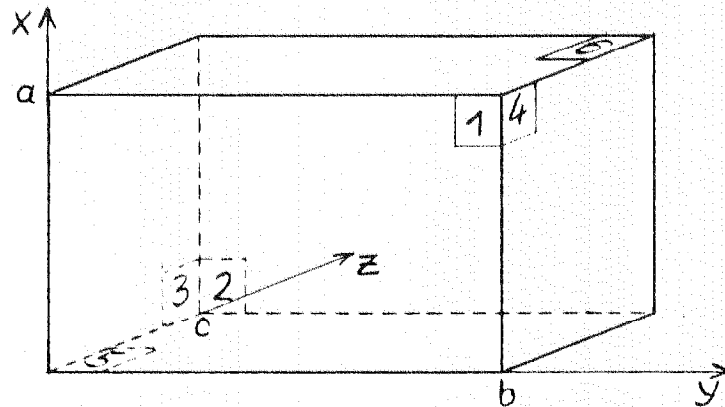
Einleitung: Der vorliegende Bericht enthält die numerischen Ergebnisse der Berechnung des Schalldrucks im Innern eines Quaders. Der Schalldruck wird übermittelt durch die Biegeschwingung einer Wand des Quaders, welche wiederum durch eine punktförmige äußere Kraft induziert wird.

Wie aus dem Zwischenbericht "Untersuchung über das Schallfeld in einem geschlossenen Quader" vom Autor dieses Berichts bereits hervorgeht, entsteht durch den Schalldruck eine Kopplung sowohl auf die nichtangeregten Platten, als auch eine Rückkopplung auf die erregte Platte. Das Ziel dieses Berichtes ist es, zu klären, wieweit diese (Rück-)kopplung für die Berechnung des Schalldrucks vernachlässigbar ist. Zu diesem Zweck werden vier Modelle gegenübergestellt: Im ersten ist eine Erregung der Platten durch den Schalldruck im Innern ausgeschaltet. In den weiteren drei Modellen wird die Wechselwirkung mit einer bzw. mehreren Platten mit berücksichtigt, während die restlichen Platten als starr angenommen werden.

Um zu klären, ob durch den Schalldruck die Schwingung der erregten Platte gedämpft wird, wurde für zwei Modelle auch das Schwingungsverhalten berechnet.

Die Ergebnisse sämtlicher Berechnungen sind am Ende dieses Berichtes graphisch dargestellt. Davor befinden sich eine Beschreibung des zugrundeliegenden Modells (Abschnitt 1), der verwendeten Gleichungen (Abschnitt 2), einige Anmerkungen zum Berechnungsverfahren (Abschnitt 3) sowie eine Auswertung der numerischen Ergebnisse.

1) Der Quader



Die Kantenlängen sind $a = 190 \text{ cm}$, $b = 110 \text{ cm}$ und $c = 220 \text{ cm}$ (bzw. $a = 190 \text{ cm}$, $b = 220 \text{ cm}$, $c = 110 \text{ cm}$). Die Platten sind schallhart und je nach Modell entweder starr oder zu Biegeschwingungen fähig. In letzterem Fall wird als Biegesteife der Wert $B = 5,474 \cdot 10^{11} \frac{\text{g} \cdot \text{cm}^2}{\text{sec}^2}$ angenommen sowie als Plattendichte für die Platten 1, 3 und 5 $m = 1,56 \frac{\text{g}}{\text{cm}^2}$ und für 2, 4 und 6 $m = 3,51 \frac{\text{g}}{\text{cm}^2}$. Die relative Dämpfung n beträgt 0,06.

An der Platte 1 greift im Punkt $(\frac{2}{3} \cdot a, \frac{1}{2} \cdot b, 0)$ eine punktförmige einfrequente Kraft an. Die Amplitude des stationären Schallfeldes, das hierdurch erzeugt wird, wird im Punkt $(x_0, y_0, z_0) = (80 \text{ cm}, 50 \text{ cm}, 100 \text{ cm})$ (bzw. $(x_0, y_0, z_0) = (80 \text{ cm}, 100 \text{ cm}, 50 \text{ cm})$) berechnet.

2) Die Gleichungen

Den Berechnungen liegen folgende Gleichungen zugrunde:

Schwingungsgleichung für die Platten:

$$m w_q + B \cdot (1 - i n) \Delta \Delta w_q = \begin{cases} f - p_1 & \text{für } q = 1 \\ -p_q & \text{für } q = 3, 5 \\ +p_q & \text{für } q = 2, 4, 6 \end{cases} \quad (1)$$

wobei w_q die Auslenkung der q -ten Platte, p_q den Innendruck an der q -ten Platte und f die Erregung der ersten Platte beschreibt.

Randbedingung für den Innendruck:

$$\frac{\partial p_q}{\partial n_q} = \begin{cases} -\omega^2 \rho_L w_q & \text{für } q = 1, 3, 5 \\ +\omega^2 \rho_L w_q & \text{für } q = 2, 4, 6 \end{cases} , \quad (2)$$

wobei ω die Erregerfrequenz und n_q der innere Normalenvektor an der q -ten Platte ist.

Zur Berechnung werden die Plattenschwingungen zerlegt in Eigenmodes:

$$w_q = e^{i\omega t} \sum_{k,\ell=1}^{\infty} A_{k\ell}^{(q)} \sin \frac{k\pi x}{a} \sin \frac{\ell\pi y}{b} ,$$

und ebenso

$$f = e^{i\omega t} \sum_{k,\ell=1}^{\infty} f_{k\ell} \sin \frac{k\pi x}{a} \sin \frac{\ell\pi y}{b} .$$

Berechnet werden folgende Modelle:

Modell 1:

Plattenschwingung und Schalldruck sind entkoppelt. Hierzu wird in den Gleichungen (1) $p_q = 0$ gesetzt. Daraus folgt $w_q = 0$ für $q \neq 1$, d.h. nur die Platte 1 schwingt.

Für die Koeffizienten $A_{k\ell}^{(1)}$ folgt aus Gleichung (1)

$$A_{k\ell}^{(1)} = \frac{f_{k\ell}}{m \cdot (-\omega^2 + (1-i\eta)\omega_k^2)} , \text{ mit } \omega_{k\ell} = \pi^2 \sqrt{\frac{E}{m}} \left(\frac{k^2}{a^2} + \frac{\ell^2}{b^2} \right) .$$

Der Schalldruck im Punkt (x_o, y_o, z_o) wird ermittelt mit Hilfe des Ansatzes

$$p = e^{i\pi t} \sum_{r,s} (C_{rs}^{(1)} e^{-ik^{rs} z_o} + C_{rs}^{(2)} e^{ik^{rs} z_o}) \cos \frac{r\pi x_o}{a} \cos \frac{s\pi y_o}{b} \quad (3)$$

$$\text{mit } k^{rs} = \sqrt{\frac{\omega^2}{v_L^2} - \frac{r^2 \pi^2}{a^2} - \frac{s^2 \pi^2}{b^2}} .$$

Aus den Randbedingungen (2) folgt

$$C_{rs}^{(1)} - C_{rs}^{(2)} = \frac{i\omega^2 \rho_L}{k_{rs}} \sum_{k,l} \alpha_{rs}^{kl} A_{kl}^{(1)}$$

und

$$C_{rs}^{(1)} e^{-ik_{rs}c} - C_{rs}^{(2)} e^{ik_{rs}c} = 0.$$

Die Koeffizienten α_{rs}^{kl} ergeben sich aus der Beziehung

$$\sin \frac{k\pi x}{a} \cdot \sin \frac{l\pi y}{b} = \sum_{r,s} \alpha_{rs}^{kl} \cos \frac{r\pi x}{a} \cdot \cos \frac{s\pi y}{b}.$$

Modell 2:

Die Platten 2-6 sind starr. Es ist $w_q = 0$ für $q=2, \dots, 6$. Für den Schalldruck gilt der Ansatz (3). Die Gleichungen (1) und (2) führen auf das Gleichungssystem

$$C_{rs}^{(2)} = C_{rs}^{(1)} \cdot e^{-2ik_{rs}c}$$

und

$$C_{rs}^{(1)} = \frac{i\omega^2 \rho_L}{(1 - e^{-2ik_{rs}c}) \cdot k_{rs} \cdot m} \left\{ \sum_{r',s'} C_{r's'}^{(1)} (1 + e^{-2ik_{r's'}c}) \cdot \sum_{k,l} \frac{\alpha_{rs}^{kl} \beta_{kl}^{r's'}}{\omega^2 - (1 - i\eta) \omega_{kl}^2} + \sum_{k,l} \frac{\alpha_{rs}^{kl} f_{kl}}{\omega^2 - (1 - i\eta) \omega_{kl}^2} \right\},$$

wobei die Koeffizienten β_{kl}^{rs} sich aus folgender Beziehung ergeben:

$$\cos \frac{r\pi x}{a} \cdot \cos \frac{s\pi y}{b} = \sum_{k,l} \beta_{kl}^{rs} \sin \frac{k\pi x}{a} \sin \frac{l\pi y}{b}.$$

Modell 3:

Die Platten 3-6 sind starr.

Wieder gilt der Ansatz (3) für den Schalldruck. Aus den Gleichungen (1) und (2) folgen die gekoppelten Gleichungssysteme:

$$\begin{aligned}
 \text{a) } A_{kl}^{(1)} \cdot (-\omega^2 + (1-in)\omega_{kl}^2) &= \frac{1}{m} f_{kl} - \frac{1}{m} \sum_{r,s} \beta_{kl}^{rs} (C_{rs}^{(1)} + C_{rs}^{(2)}) \\
 \text{b) } A_{kl}^{(2)} \cdot (-\frac{9}{4}\omega^2 + (1-in)\omega_{kl}^2) &= \frac{1}{m} \sum_{r,s} \beta_{kl}^{rs} (C_{rs}^{(1)} e^{-ik^{rs}c} + C_{rs}^{(2)} e^{ik^{rs}c}) \\
 \text{c) } C_{rs}^{(1)} - C_{rs}^{(2)} &= -\frac{i\omega^2 \rho_L}{k^{rs}} \sum_{k,l} \alpha_{rs}^{kl} A_{kl}^{(1)} \\
 \text{d) } C_{rs}^{(1)} e^{-ik^{rs}c} - C_{rs}^{(2)} e^{ik^{rs}c} &= -\frac{i\omega^2 \rho_L}{k^{rs}} \sum_{k,l} \alpha_{rs}^{kl} A_{kl}^{(2)}.
 \end{aligned}$$

Modell 4:

Alle Platten schwingen.

Der Ansatz für p ist nun

$$\begin{aligned}
 p &= e^{i\omega t} \sum_{r,s} (C_{rs}^{(1)} e^{-ik^{rs}z_0} + C_{rs}^{(2)} e^{ik^{rs}z_0}) \cos \frac{r\pi x_0}{a} \cos \frac{s\pi y_0}{b} \\
 &+ e^{i\omega t} \sum_{r,s} (C_{rs}^{(3)} e^{-ik'^{rs}x_0} + C_{rs}^{(4)} e^{ik'^{rs}x_0}) \cos \frac{r\pi y_0}{b} \cos \frac{s\pi z_0}{c} \\
 &+ e^{i\omega t} \sum_{r,s} (C_{rs}^{(5)} e^{-ik''^{rs}y_0} + C_{rs}^{(6)} e^{ik''^{rs}y_0}) \cos \frac{r\pi x_0}{a} \cos \frac{s\pi z_0}{c} \\
 &= p^{(1)} + p^{(2)} + p^{(3)},
 \end{aligned}$$

$$\text{wobei } k'^{rs} = \sqrt{\frac{\omega^2}{v_L^2} - \frac{r^2 \pi^2}{b^2} - \frac{s^2 \pi^2}{c^2}} \quad \text{und} \quad k''^{rs} = \sqrt{\frac{\omega^2}{v_L^2} - \frac{r^2 \pi^2}{a^2} - \frac{s^2 \pi^2}{c^2}} \quad \text{ist.}$$

Da die Größen $A_{kl}^{(3)} - A_{kl}^{(6)}$ klein im Vergleich zu $A_{kl}^{(1)}$ sind, werden die aus (1) und (2) abgeleiteten Gleichungssysteme auf folgende Weise entkoppelt:

- $p^{(1)}$ wird wie in Modell 3 berechnet.
- $w_3 - w_6$ werden aus den Gleichungen (1) berechnet, wobei p_q durch $p_q^{(1)}$ ersetzt wird.
- $p^{(2)}$ und $p^{(3)}$ werden aus den Gleichungen (2) berechnet.

3) Angaben zum Programm und den numerischen Berechnungen

Berechnet werden die Amplitude des stationären Schalldrucks im Punkt (x_0, y_0, z_0) einerseits und die Schwingungsenergie der angeregten Platte andererseits. Die Seiten des Quaders sind so benannt, daß die angeregte Platte jeweils die Maße $a \times b$ hat. Bei den Modellen 1 und 2 werden jeweils 100 Plattenmodes, den Modellen 3 und 4 24 Plattenmodes pro schwingender Platte berücksichtigt, sowie 18 (Modelle 1, 2 und 3) bzw. 54 Koeffizienten (Modell 4) für den Schalldruck. Schalldruck und Plattenschwingung werden ausgewertet für Anregfrequenzen im Bereich von 50 bis 200 Hz. Einzelheiten zum Programm können der beiliegenden Programmbeschreibung entnommen werden (Anlage 2).

Univ.-Bibl.
Kaiserslautern

4) Die Ergebnisse

Die Ergebnisse der numerischen Berechnungen sind im Anhang graphisch dargestellt. Die Seiten E1-E4 entsprechen der Anregung der Platte mit den Maßen $190 \text{ cm} \times 110 \text{ cm}$, die Seiten E5-E9 der Anregung der Platte $190 \text{ cm} \times 220 \text{ cm}$. Auf den Seiten E1-E3 und E5-E7 sind die Modelle 2, 3 und 4 dem entkoppelten Modell 1 gegenübergestellt. Die Schwingungsenergien der angeregten Platte für Modell 1 und Modell 3 (was gleichzeitig dem Modell 4 entspricht) sind auf E4 und E9 dargestellt.

Ein Vergleich des entkoppelten Modells mit dem vollständig gerechneten Modell für eine schwingungsfähige Platte (s. E1 und E5) zeigt, daß bis auf geringfügige Verschiebungen der Resonanzen keine nennenswerten Abweichungen der beiden Modelle festzustellen sind. Hiervon gibt es eine Ausnahme: den Frequenzbereich um 175 Hz im Fall der Anregung der kleinen Platte (s. E1). Sowohl Breite als auch Höhe des Resonanzpeaks sind im gekoppelten Modell stark reduziert. Ein Blick auf die Resonanzverteilungen (s. S. 8) zeigt

den Grund hierfür: In diesem Bereich werden drei eng beieinander liegende Hohlraumresonanzen durch eine Plattenresonanz überlagert. Aus Untersuchungen im Zwischenbericht (vgl. Abschnitt 5) folgt, daß in diesem Fall die Energieübertragung zwischen Platten und Luft gegenüber dem entkoppelten Modell stark gedämpft ist. Im Falle der Anregung der großen Platte (s. E5) tritt eine solche Überlagerung nicht auf, da die zur Resonanz gehörende Plattenschwingung nicht angeregt wird. Um auch hier den Einfluß der Rückkopplung des Schalldrucks auf die Plattenbewegung zu sehen, wurde der Angriffspunkt der erregenden Kraft auf den Punkt $(\frac{2}{3}a, \frac{2}{3}b)$ gelegt. Das Ergebnis ist in E8 dargestellt.

Im Vergleich zu Modell 2 sind die Resonanzen im Modell 3 (s. E2 und E6) geringfügig abgeflacht. Die Eigenresonanzen der Platte 2 spielen keine große Rolle. Lediglich im Bereich von Hohlraumresonanzen machen sie sich verstärkt bemerkbar.

Bemerkenswert an Modell 4 (E3 und E7) ist die Verstärkung der Hohlraumresonanzen auch gegenüber dem entkoppelten Modell. Dieser Effekt dürfte aber nur im Fall eines idealen Hohlraumresonators, wie ihn ein Quader darstellt, relevant sein und wird in komplizierteren Gebilden (wie Karosserien) nicht in dieser Stärke auftreten.

5) Schlußbemerkungen

Die numerischen Ergebnisse bestätigen im wesentlichen die Ergebnisse des Zwischenberichtes: Das entkoppelte Modell beschreibt das Schallfeld gut im Bereich außerhalb der Resonanzen und auch in isolierten Resonanzen (zumindest im Fall höchstens zweier schwingender Platten). Einer Modifikation bedarf dieses Verfahren in

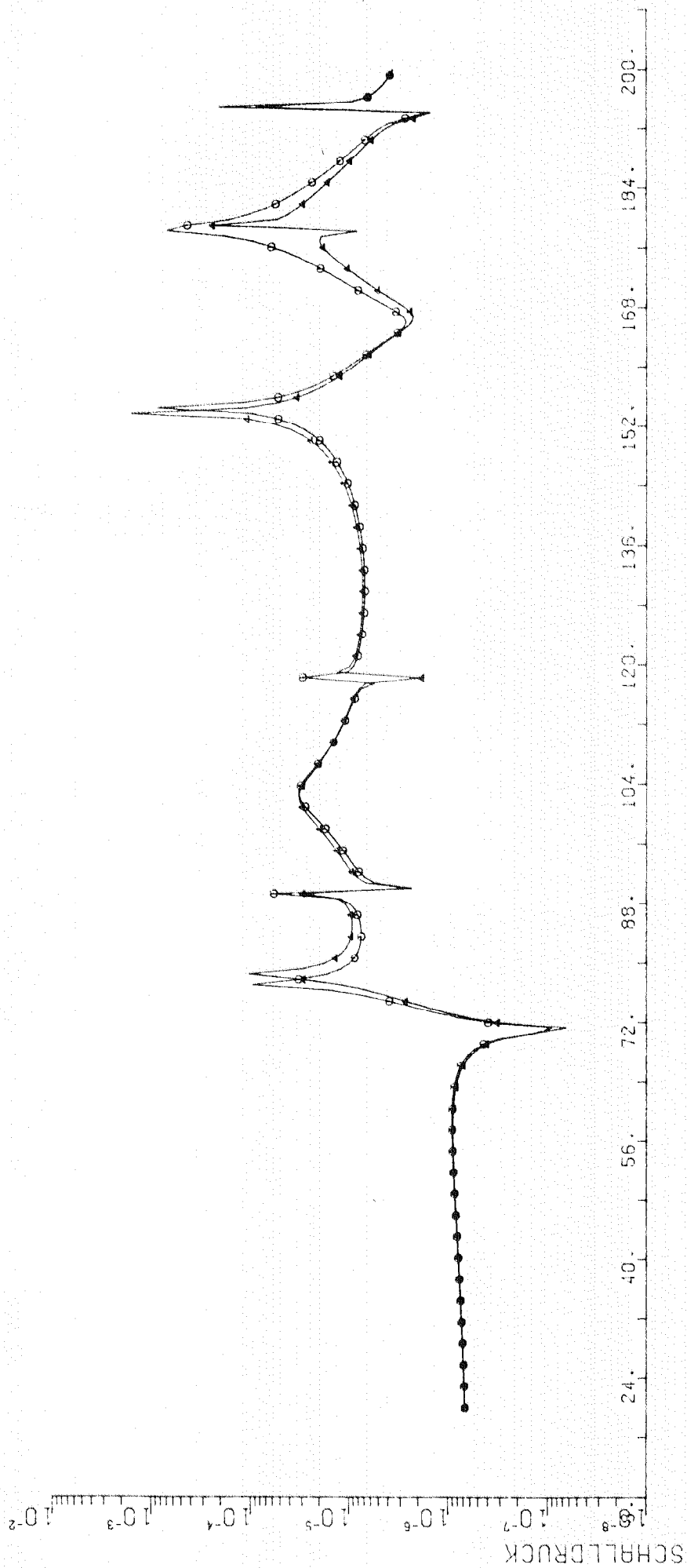
Bereichen, in denen sich Hohlraum- und Plattenresonanzen überlagern.

In diesem Zusammenhang ist ein Vergleich mit einem Verfahren bemerkenswert, das in Voruntersuchungen zu den endgültigen Berechnungen durchgeführt wurde. Dieses Verfahren, dessen Ergebnisse in Anlage 1 dargestellt sind, approximiert gut die Ergebnisse des Modells 2. Dies ist deshalb interessant, da sich dieses Modell von Modell 1 lediglich durch die Addition eines geeigneten Dämpfungsterns unterscheidet. Insbesondere muß kein Gleichungssystem gelöst werden. Damit könnte dieses Verfahren einen geeigneten Kompromiß bieten zwischen dem entkoppelten Modell und dem rechenzeitintensiven Modell 2.

Plattenfrequenzen:	Platte 1	Platte 2
1		
2		
3		
4		
5		
6		
7		
8		
9		
10		
11		
12		
13		
14		
15		
16		
17		
18		
19		
20		
21		
22		
23		
24		
25		
26		
27		
28		
29		
30		
31		
32		
33		
34		
35		
36		
37		
38		
39		
40		
41		
42		
43		
44		
45		
46		
47		
48		
49		
50		
51		
52		
53		
54		
55		
56		
57		
58		
59		
60		
61		
62		
63		
64		
65		
66		
67		
68		
69		
70		
71		
72		
73		
74		
75		
76		
77		
78		
79		
80		
81		
82		
83		
84		
85		
86		
87		
88		
89		
90		
91		
92		
93		
94		
95		
96		
97		
98		
99		
100		

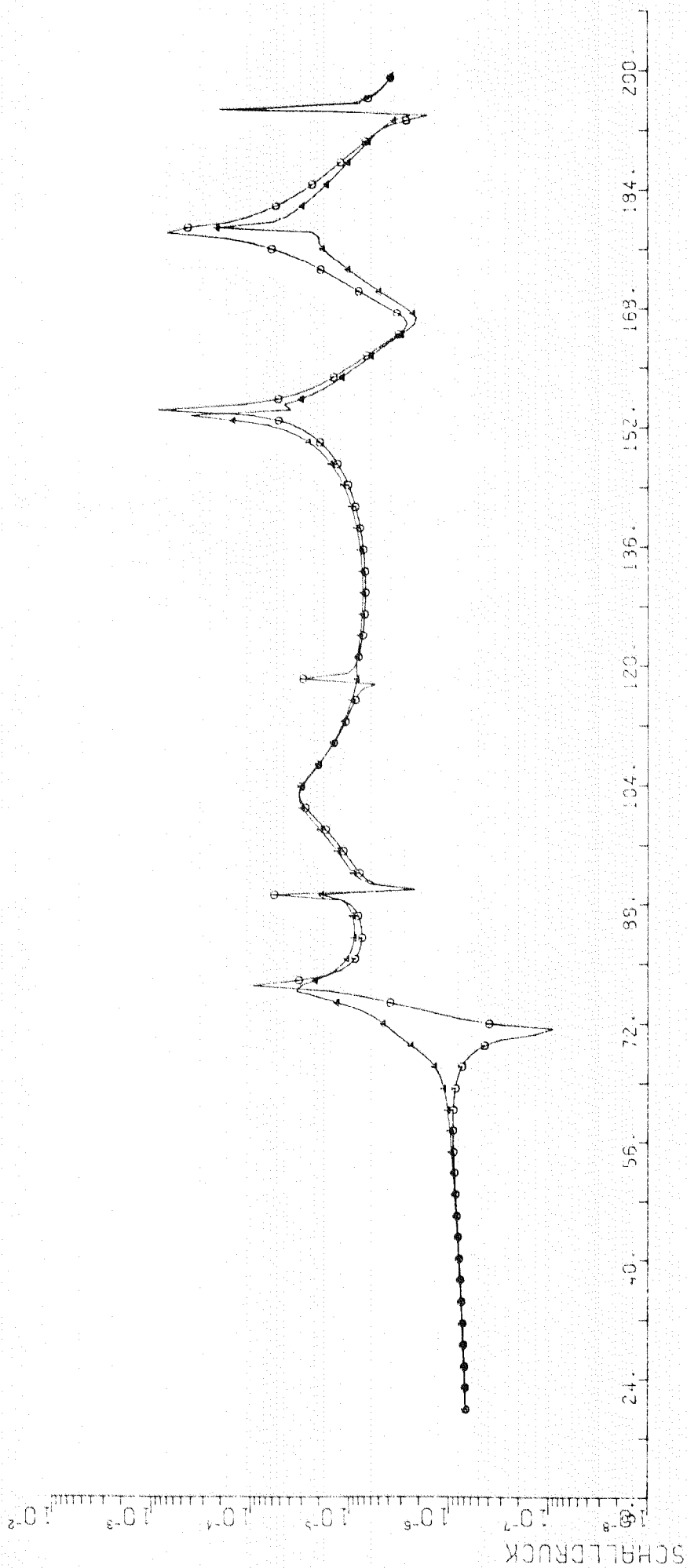
A=190 B=110 C=220		A=190 B=220 C=110		Hz
Plattenfrequenzen	11	21	201	210
			111	111
			200	200
			110	101
			102	120
			011	011
			002	020
			010	001
			101	110
			100	100
001	010			
Hohlraumfrequenzen	11	21	201	210
			111	111
			200	200
			110	101
			102	120
			011	011
			002	020
			010	001
			101	110
			100	100
001	010			
Plattenfrequenzen	12	22	201	210
			111	111
			200	200
			110	101
			102	120
			011	011
			002	020
			010	001
			101	110
			100	100
001	010			
Hohlraumfrequenzen	11	21	201	210
			111	111
			200	200
			110	101
			102	120
			011	011
			002	020
			010	001
			101	110
			100	100
001	010			

SCHALLDRUCK (80, 50, 100)

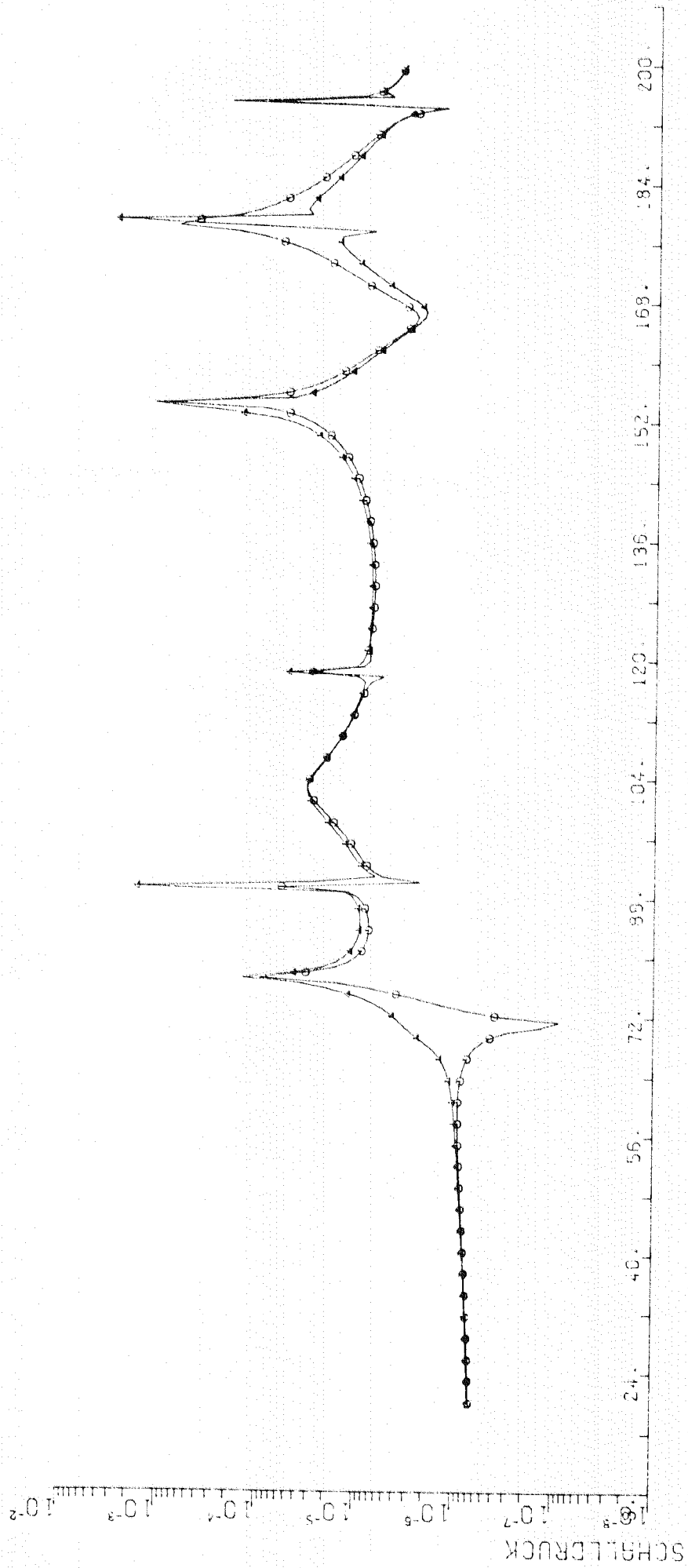


○ SCHALLDRUCK NACH MODELL 1
● SCHALLDRUCK NACH MODELL 2

SCHALLDRUCK (80,50,100)



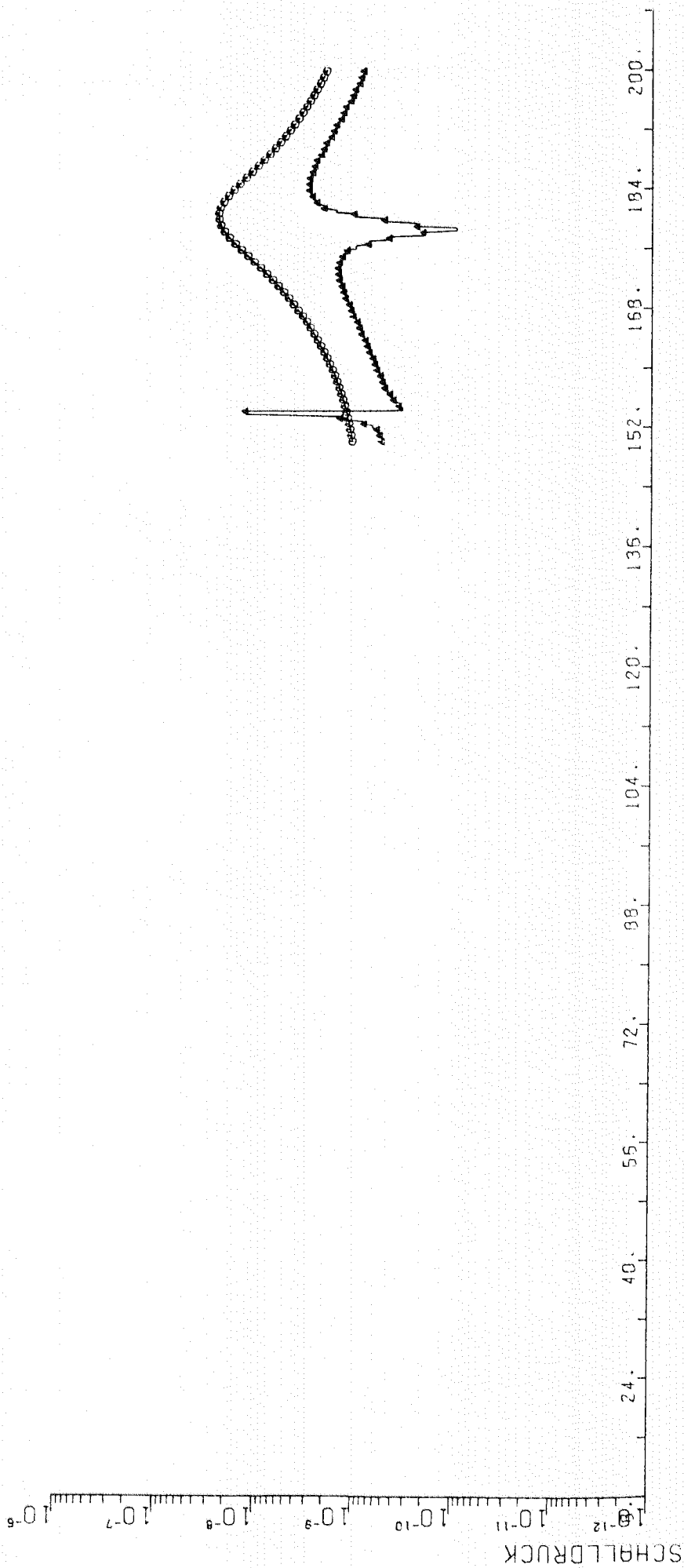
SCHALLDRUCK (80,50,100)



○ SCHALLDRUCK NACH MODELL 1
 ▲ SCHALLDRUCK NACH MODELL 4

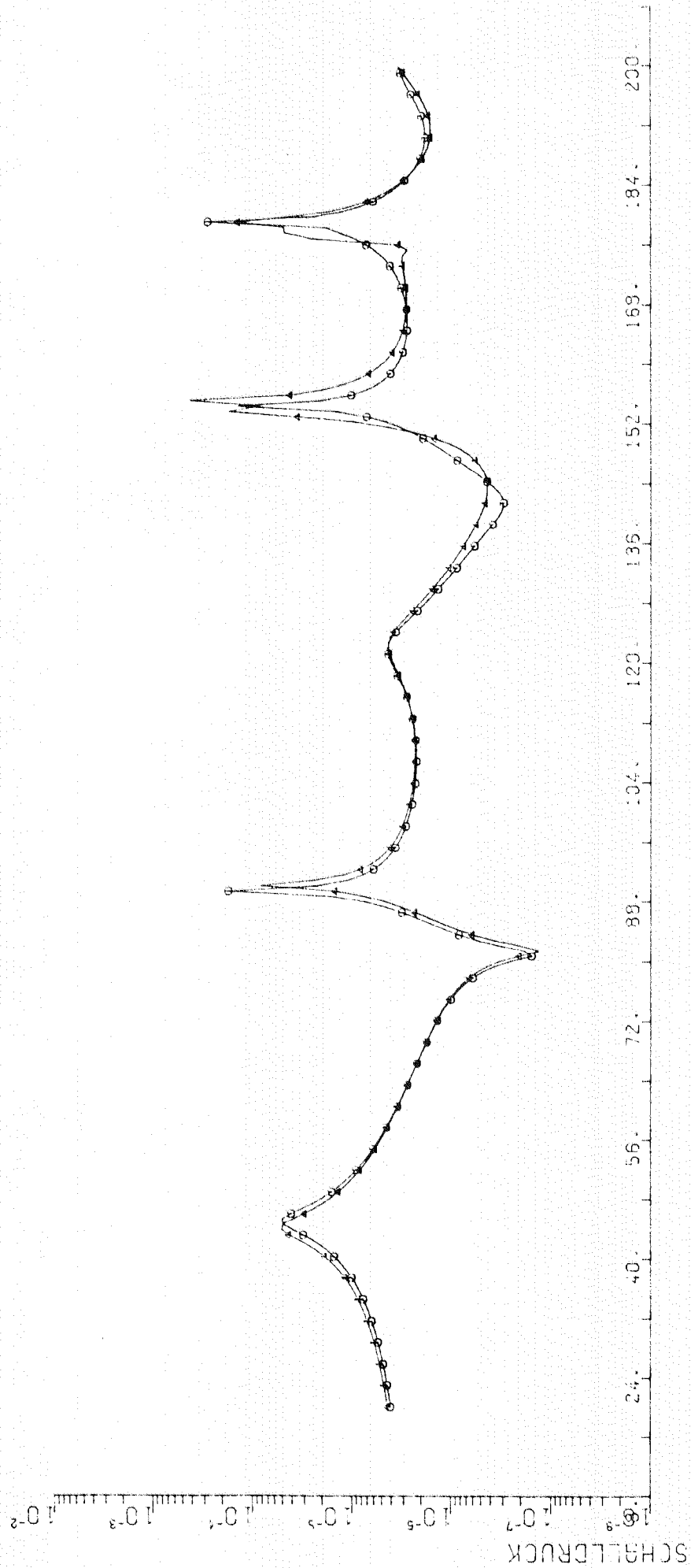
SCHWINGUNGSENERGIE (80,50,100)

E 4



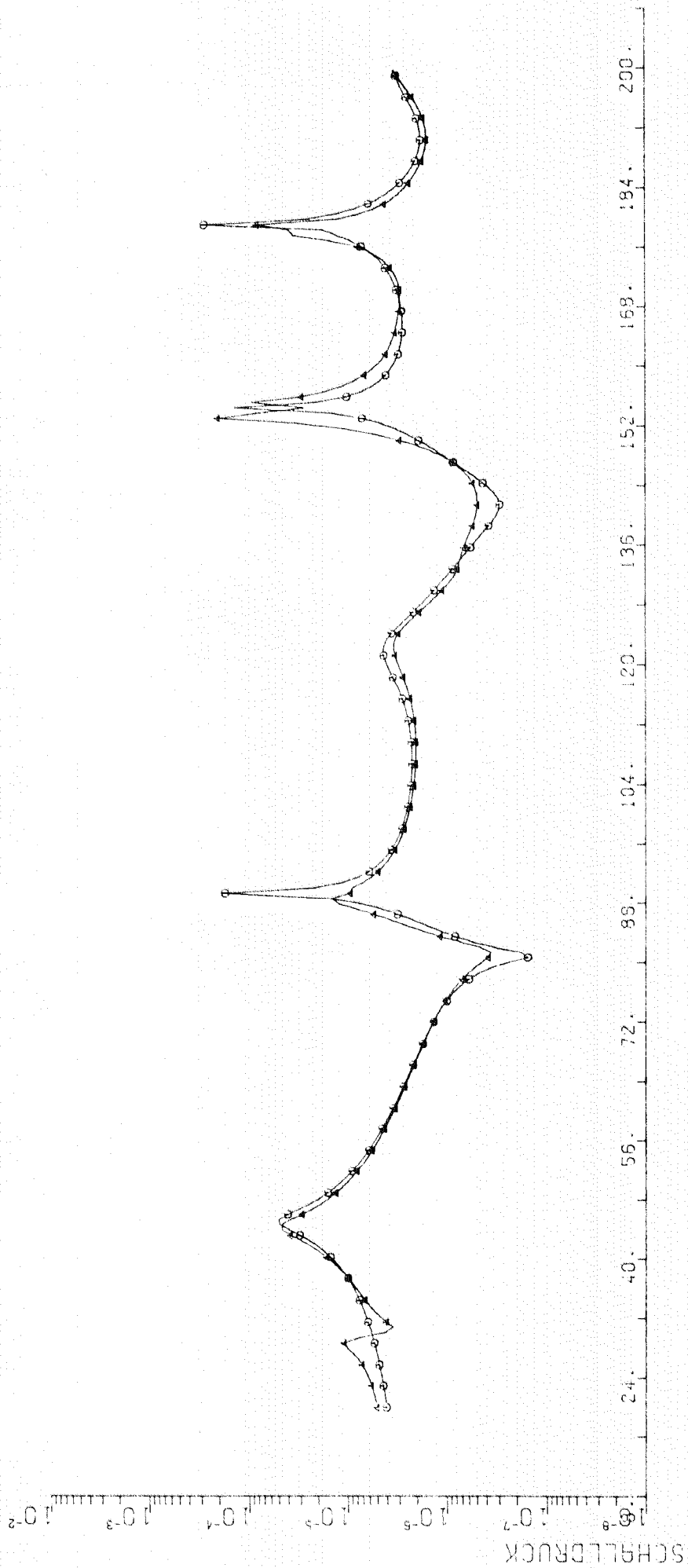
o MODELL 1
▲ MODELL 3

SCHALLDRUCK (80, 100, 50)



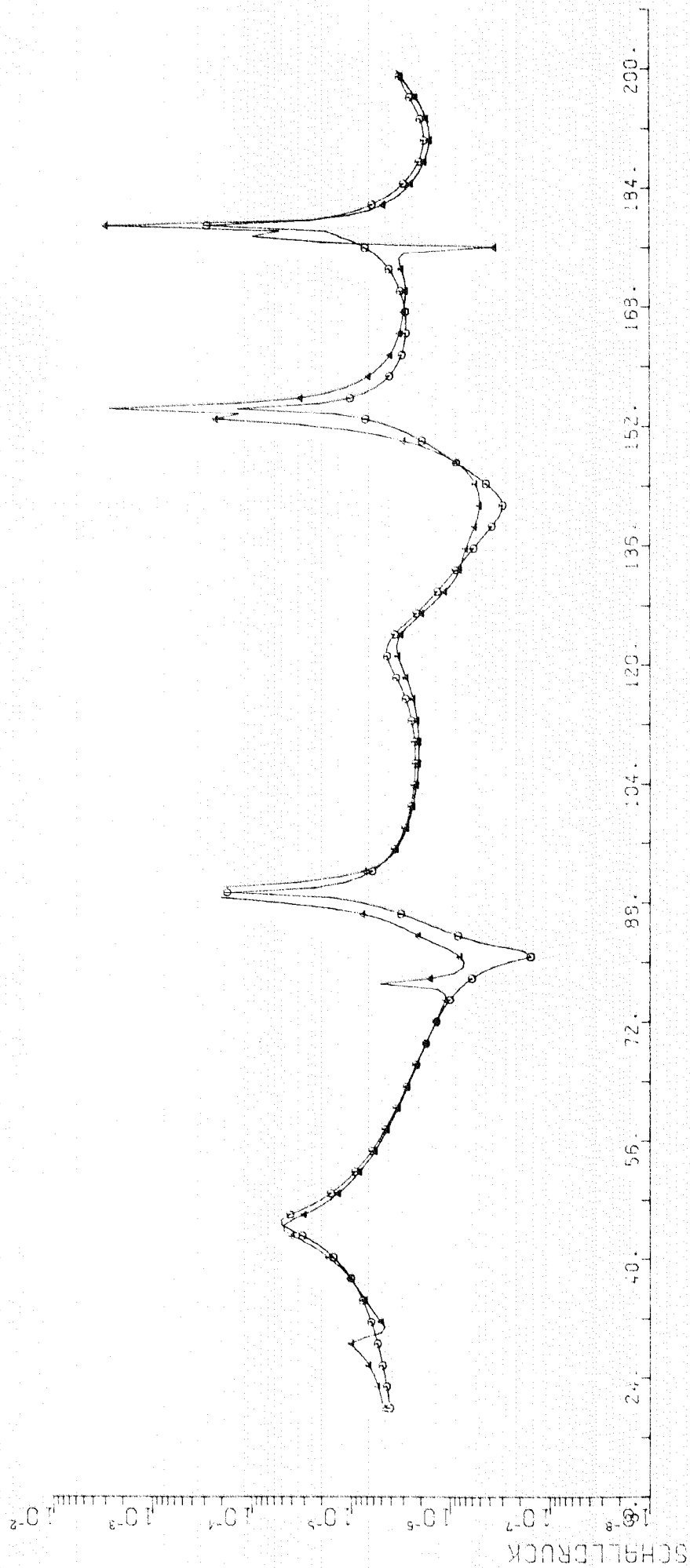
○ SCHALLDRUCK NACH MODELL 1
 △ SCHALLDRUCK NACH MODELL 2

SCHALLDRUCK (80, 100, 50)



○ SCHALLDRUCK NACH MODELL 1
 ▲ SCHALLDRUCK NACH MODELL 3

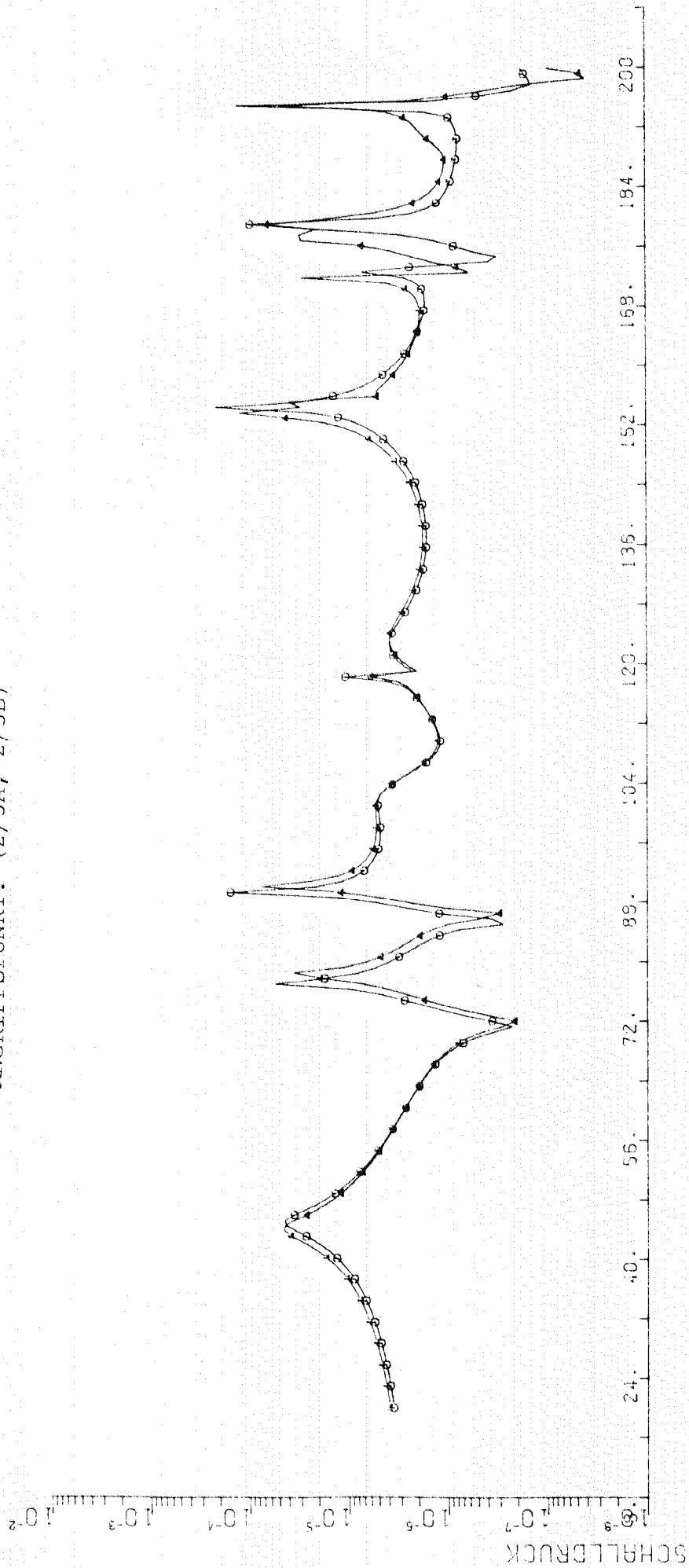
SCHALLDRUCK (80, 100, 50)



○ SCHALLDRUCK NACH MODELL 1
 ▲ SCHALLDRUCK NACH MODELL 4

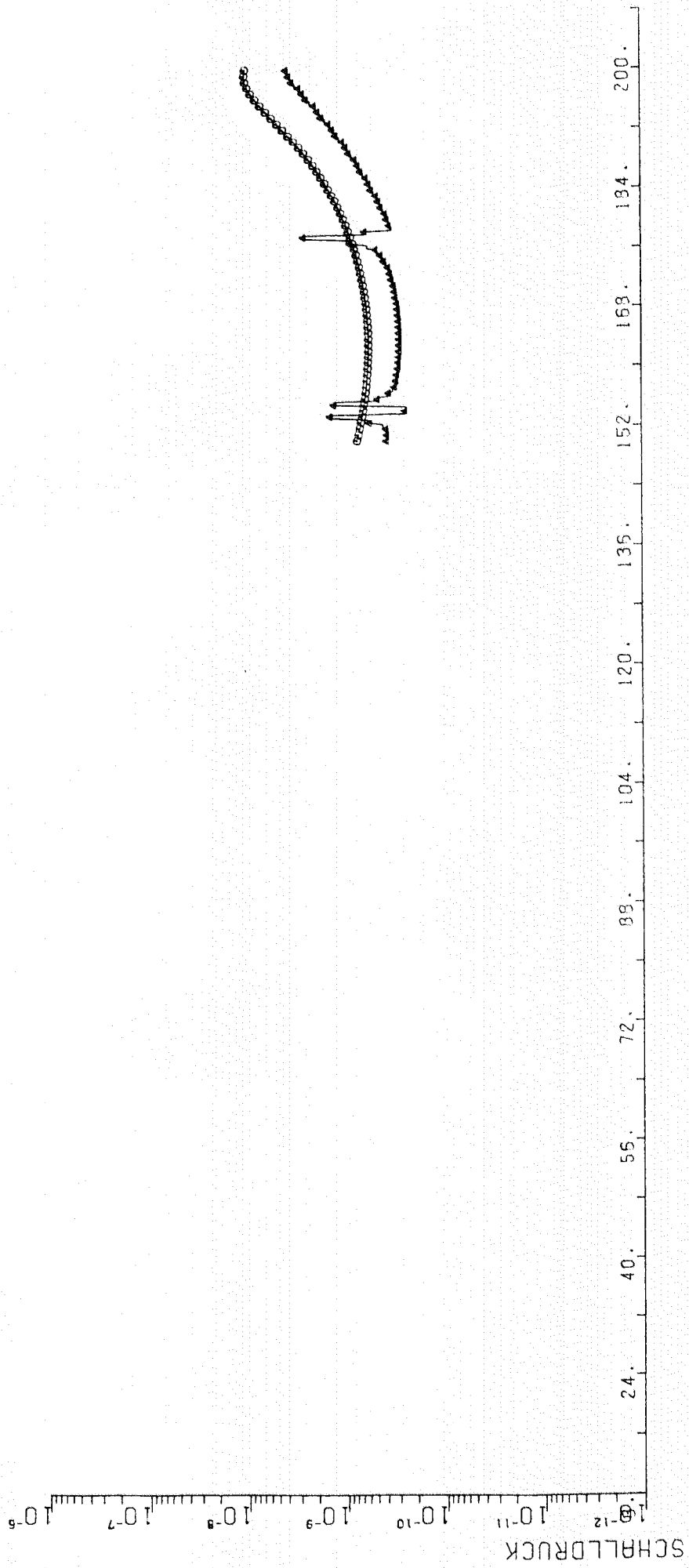
SCHALLDRUCK (80, 100, 50)

ANGRIFFSPUNKT: (2/3A, 2/3B)



○ SCHALLDRUCK NACH MODELL 1
 ▲ SCHALLDRUCK NACH MODELL 2

SCHWINGUNGSENERGIE (80, 100, 50)



○ MODELL 1
△ MODELL 3

ANLAGE 1: Ein vereinfachtes Modell

Zur Berechnung des Schalldrucks bei einer schwingungsfähigen Platte (Modell 2) muß folgendes Gleichungssystem für die Koeffizienten des Schalldrucks gelöst werden:

$$(1 - e^{-2ik^{rs}c}) \cdot C_{rs} = \frac{i\omega^2 \rho_L}{k^{rs} \cdot m} \cdot$$

$$\cdot \left\{ \sum_{r',s'} C_{r',s'} (1 + e^{-2ik^{r's'}c}) \cdot \sum_{k,l} \frac{\alpha_{rs\beta_{kl}}^{klr's'}}{\omega^2 - (1-i\eta)\omega_{kl}^2} + \sum_{k,l} \frac{\alpha_{rsf_{kl}}^{klf}}{\omega^2 - (1-i\eta)\omega_{kl}^2} \right\} \cdot$$

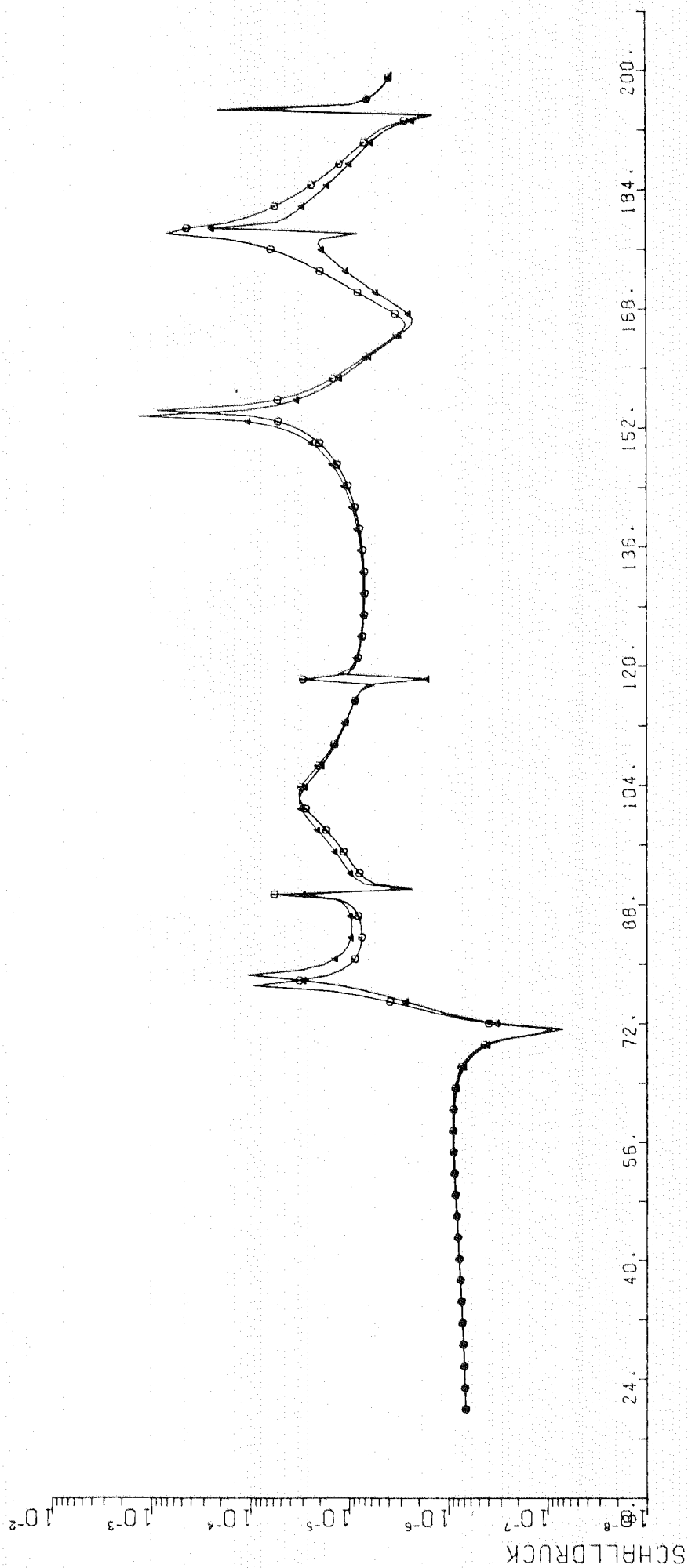
Die Beobachtung, daß außerhalb der Resonanzfrequenzen der Schalldruck gut durch ein entkoppeltes Modell approximiert wird, sowie heuristische Überlegungen, nach denen im Resonanzbereich der Einfluß nicht resonanter Eigenschwingungen auf Resonanzschwingungen klein ist, führen zu folgendem Ansatz:

$$C_{rs} \cdot \left\{ 1 - e^{-2ik^{rs}c} - \frac{i\omega^2 \rho_L}{k^{rs} \cdot m} \cdot (1 + e^{-2ik^{rs}c}) \cdot \sum_{k,l} \frac{\alpha_{rs\beta_{kl}}^{klrs}}{\omega^2 - (1-i\eta)\omega_{kl}^2} \right\}$$
$$= \frac{i\omega^2 \rho_L}{(1 - e^{-2ik^{rs}c}) \cdot k^{rs} \cdot m} \cdot \sum_{k,l} \frac{\alpha_{rsf_{kl}}^{klf}}{\omega^2 - (1-i\eta)\omega_{kl}^2} \cdot$$

Dieses Modell, das sich vom entkoppelten Modell nur durch die Einführung eines zusätzlichen Dämpfungsterms für C_{rs} unterscheidet, kann ohne Lösung eines linearen Gleichungssystems berechnet werden.

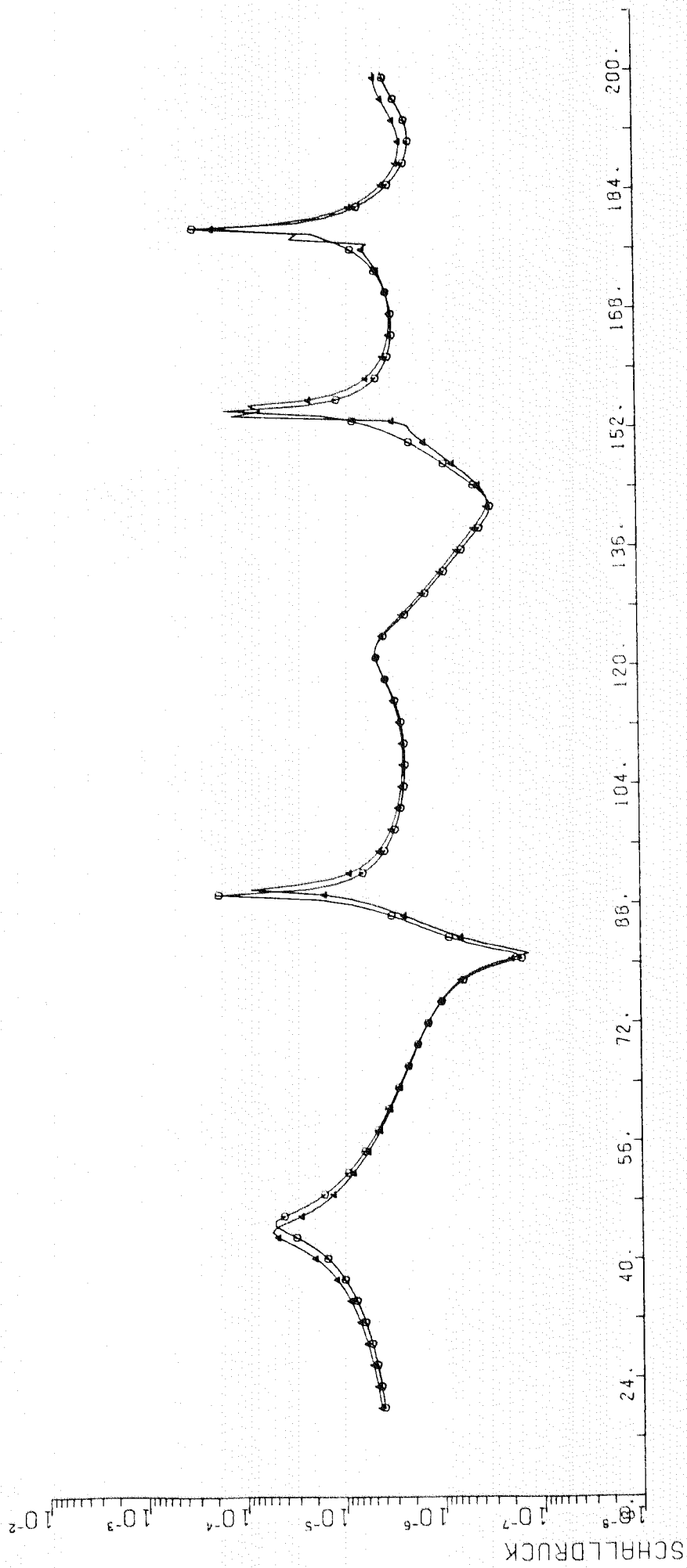
Die Ergebnisse der Berechnung dieses Modells sind auf den beiden folgenden Seiten dargestellt.

SCHALLDRUCK (80,50,100)



○ SCHALLDRUCK NACH MODELL 1
 ▲ SCHALLDRUCK NACH MODELL 2A

SCHALLDRUCK (80, 100, 50)



○ SCHALLDRUCK NACH MODELL 1
▲ SCHALLDRUCK NACH MODELL 2A

Programmerläuterung:

Der Hauptteil ("Hauptprogramm") des vorliegenden Programmes veranlaßt das Plotten des Schalldrucks ("LUFT") in Abhängigkeit des gewählten Modells ("MODELL") und der Frequenz ("X"). Dies geschieht durch Aufruf einer externen Plotroutine.

Die Berechnung des Schalldrucks sowie der dazu nötigen Größen erfolgt in Unterprogrammen.

Erläuterung der wichtigsten Konstanten (soweit ihre Bezeichnung nicht mit denen der Formeln im Bericht übereinstimmen):

RHOLUFT: ρ

RHOQUADER: m

ETA: η

BCONST: B

PI: π

Die Größe "DIFF" steuert die Auflösung des Plotters.

Durch die Variablen K, L (KI, LI, ...) werden die Platteneigen-schwingungen, durch R, S (RI, SI, ...) die Hohlraumschwingungen numeriert. Durch KL (...) bzw. RS (...) werden die Zahlenpaare (K,L) (...) bzw. (R,S) (...) linear angeordnet (dies ist nötig zur Lösung der linearen Gleichungssysteme).

Unterprogramme:

REAL FUNCTION LUFT K(X): Berechnung des Schalldrucks in Abhängig-keit des Modells K und der Frequenz X.

OMEGA (K,L): Berechnung der Platteneigenfrequenz

$$\text{OMEGA} = \pi^2 \cdot \sqrt{\frac{B}{m}} \cdot \left(\frac{K^2}{A^2} + \frac{L^2}{B^2} \right)$$

ALPHA (RS,K,L): Berechnung von α_{rs}^{kl}

BETA (K,L,RS): Berechnung von β_{kl}^{rs}

FF (K,L): Anregung des Modes $\sin \frac{k\pi x}{a} \sin \frac{l\pi y}{b}$ durch eine äußere Kraft im Punkt (EPS1·A, EPS2·B).

COMPLEX FUNCTION KF (RS,X): Berechnung von K^{rs}

(Zur Berechnung von LUFT4 werden entsprechende Unterprogramme OMEGA1, ALPHA1, ... definiert.)

Die Gleichungssysteme für $C_{rs}^{(1)}$ (= C2B(RS)) in Modell 2 und für $A_{kl}^{(1)}$ (= ALSG) und $A_{kl}^{(2)}$ (= BLSG) für Modell 3 werden in den Subroutinen GLGS2B und GLGS3 gelöst. Hierin wird extern das Programm FO4ADF zur Lösung eines linearen Gleichungssystems aufgerufen. Die Berechnung der "rechten Seiten" der Gleichungssysteme, in denen die Größen f_{kl} enthalten sind, erfolgen in den Aufrufen C1 und R2B.

Eine Beschreibung der extern aufgerufenen Unterprogramme findet sich in dieser Anlage.

SPEZIFIKATION DER VERWENDETEN BIBLIOTHEKSUNTERPROGRAMME

CALL PLOTS(1,1,1)

INITIALISIERUNG DES PLOTTERS

```
CALL PFRAME(XMIN,XMAX,YMIN,YMAX,LAYOUT,TITEL,TEXT1,TEXT2)
```

- AUFBAU DES RAHMENS (DIN A4 QUER)
- ZEICHNEN DES KOORDINATENKREUZES

```
- XMIN (BZW. XMAX)      : MINIMUM (BZW. MAXIMUM) DER
                           HORIZONTAL EN KOORDINATENACHSE
- YMIN (BZW. YMAX)      : MINIMUM (BZW. MAXIMUM) DER
                           VERTIKAL EN KOORDINATENACHSE
- LAYOUT                 : BESTIMMT DIE ACHSENTEILUNG (LIN/LOG)
                           UND DIE LAGE DES ACHSENKREUZES
                           (SIEHE PROGRAMMLISTING)
- TITEL                  : GESAMTUEBERSCHRIFT DER ZEICHNUNG
- TEXT1 (BZW. TEXT2)     : BESCHRIFTUNG DER HORIZONTAL EN
                           (BZW. VERTIKAL EN) ACHSE
```

CALL PFUNC(LUFT,XMIN,XMAX,0,FTITEL,TEXT1,TEXT2)

ZEICHNEN DER FUNKTION "LUFT" IN DEN MIT DEM UNTERPROGRAMM
PFRAME GEZEICHNETEN RAHMEN

- LUFT : NAME DER ZU ZEICHNENDEN FUNKTION
- XMIN,XMAX : WERTEBEREICH DER FUNKTION
- FTITEL : BESCHRIFTUNG DER FUNKTION IN DER ZEICHNUNG
- TEXT1,TEXT2: KEINE BEDEUTUNG IN DIESEM ZUSAMMENHANG

DER WERTEPARAMETER 0 HAT EBENSO KEINE BEDEUTUNG

```
*****
PLOT
*****
```

AUFRUF IM PROGRAMM:

CALL PLOT(0.0,0.0,999)

ZWECK:

SCHLUSSAUFRUF PLOTTER

```
*****
FO4ADF
*****
```

AUFRUF (ALLGEMEIN):

CALL FO4ADF(MATRIX,IA,INHOM,IB,IN,IM,LSG,IC,WKSPCE,IFAIL)

ZWECK:

LOESUNG EINES DOPPELTGENAUEN KOMPLEXEN LINEAREN
GLEICHUNGSSYSTEMS MIT NACHITERATION

PARAMETER:

- MATRIX: KOEFFIZIENTENMATRIX DES GLEICHUNGSSYSTEMS
- IA : ANZAHL DER ZEILEN VON "MATRIX"
- INHOM : MATRIX, DIE SPALTENWEISE DIE (MEHREREN) RECHTEN SEITEN
SEITEN DES GLEICHUNGSSYSTEMS ENTHAELT
- IB : ANZAHL DER ZEILEN VON "INHOM"
- IN : ORDNUNG VON "MATRIX"
- IM : ANZAHL DER RECHTEN SEITEN
- LSG : MATRIX, DIE SPALTENWEISE DIE (EVENTUELL MEHREREN ,S.O.)
LOESUNGEN ENTHAELT
- IC : ANZAHL DER ZEILEN VON "LSG"
- WKSPCE: ARBEITSARRAY VOM TYP REAL*8, DER MINDESTENS
DIE LAENGE "IN" HAT
- IFAIL : FEHLERANZEIGE (SINGULAERE MATRIX)

XX
XX

```
C*****
C PROGRAM HS.LUFT          (C) HERBERT SCHLAEPF 1984
C
C STAND 31.01.85
C ALLE GROSSEN IN CGS-EINHEITEN
C*****
C
C ENTERJOB ?
C
C     LOGICAL ENTER
C     ENTER=.TRUE.
C
C     COMMON /CRSDRS/CRSA,DRSA
C     COMPLEX CRSA(0:100),DRSA(0:100)
C
C KONST
C
C     COMMON /KONST/A,B,C,PI,VL,RHOLUFT,RHOQUADER,ETA,BCONST
C     VL=34000
C     RHOLUFT=1.2E-03
C     RHOQUADER=1.56
C     ETA=0.06
C     BCONST=5.474E11
C     PI=4*ATAN(1.)
C
C PARAMETER
C
C     COMMON /PARAM/X0,Y0,Z0,MODELL
C     COMMON /KLRS/KMAX,LMAX,KLMAX,RMAX,SMAX,RSMAX
C     INTEGER RMAX,SMAX,RSMAX,RI,SI,MODELL
C     REAL X0,Y0,Z0,HOHLNYS(0:9,0:9)
C
C     IF (ENTER) THEN
C       KOORD=1
C     ELSE
C       WRITE(2,*) 'KOORDINATEN ?'
C       WRITE(2,*) 'A=190,B=110,C=220,X0=80,Y0=50,Z0=100    --> 1'
C       WRITE(2,*) 'A=190,B=220,C=110,X0=80,Y0=100,Z0=50    --> 2'
C       READ(5,*) KOORD
C     ENDIF
C
C     IF (KOORD.EQ.1) THEN
C       TITEL='SCHALLDRUCK (80,50,100)'
C       A=190
C       B=110
C       C=220
C       X0=80
C       Y0=50
C       Z0=100
C     ELSE
C       TITEL='SCHALLDRUCK (80,100,50)'
C       A=190
C       B=220
C       C=110
C       X0=80
C       Y0=100
C       Z0=50
C     ENDIF
```

```

C
C INITIALISIERUNG VON "HOHLNYS"
  DO 10001 RI=0,9
  DO 10002 SI=0,9
    HOHLNYS(RI,SI)=SQRT( VL*VL/4. * (RI*PI/A/A + SI*SI/P/E) )
10002 CONTINUE
10001 CONTINUE
C
C VEREINBARUNGEN
C
  REAL LUFT1,LUFT2A,LUFT2B,LUFT3,LUFT4
  EXTERNAL PFUNC,PLOT,PFRAME,F04ADF
  EXTERNAL LUFT1,LUFT2A,LUFT2B,LUFT3,LUFT4
  CHARACTER *40 TEXT1,TEXT2,TITEL,FTITEL
  INTEGER LAYOUT,EINGABE
  REAL XMIN,XMAX,YMIN,YMAX
  LOGICAL AUFTRAG(1:5)

C
C *****
C HAUPTPROGRAMM
C *****
C INITIALISIERUNG PLOTTER
  CALL PLOTS(1,1,1)
C FORMAT DER ZEICHNUNG FESTLEGEN
C DIN A4 QUER
  LAYOUT=2
C WERTEBEREICH X/Y-ACHSE
  XMIN=20
  XMAX=200
  YMIN=5E-08
  YMAX=0.5E-02
C BESCHRIFTUNG DER AXSEN
  TEXT1='
  TEXT2='SCHALLDRUCK
C X-ACHSE LINEAR, Y-ACHSE LOGARITHMISCH
  EINGABE=3
  LAYOUT=LAYOUT+100*(EINGABE-1)
C KOORDINATENACHSEN AM RAND
  EINGABE=2
C LAYOUT BERECHNEN
  EINGABE=EINGABE*EINGABE-2
  LAYOUT=ISIGN(LAYOUT,EINGABE)

C
  CALL PFRAME(XMIN,XMAX,YMIN,YMAX,LAYOUT,TITEL,TEXT1,TEXT2)

C
C
C MODELL 1      -->1
C MODELL 2B     -->2
C MODELL 3      -->3
C MODELL 4      -->4
C
  XMIN=60
  XMAX=80

C
C AUFLÖSUNG
C
  COMMON /AUFL/XALT,DIFF,ALTLUFT
  DIFF=0.5

```

XALT=0

C
IF (ENTER) THEN
AUFTRAG(4)=.TRUE.
ELSE

10015 WRITE(2,*) 'MODELL ?'
READ(5,*) MODELL
IF (MODELL.EQ.0) GOTO 10016
AUFTRAG(MODELL)=.TRUE.
GOTO 10015
ENDIF

C
10016 DO 10017 MODELL=1,5
IF (.NOT.AUFTRAG(MODELL)) GOTO 10017
WRITE(2,10050) MODELL
10050 FORMAT(' NR.',I1,' WIRD GERADE BEARBEITET')

C
IF (MODELL.EQ.1) THEN
FTITEL='SCHALLDRUCK NACH MODELL 1
RMAX=2
SMAX=2
RSMAX=(RMAX+1)*(SMAX+1)-1
KMAX=10
LMAX=10
KLMAX=KMAX*LMAX
CALL PFUNC(LUFT1,XMIN,XMAX,0,FTITEL,TEXT1,TEXT2)
ENDIF

C
IF (MODELL.EQ.2) THEN
FTITEL='SCHALLDRUCK NACH MODELL 2B
RMAX=2
SMAX=2
RSMAX=(RMAX+1)*(SMAX+1)-1
KMAX=10
LMAX=10
KLMAX=KMAX*LMAX
CALL PFUNC(LUFT2B,XMIN,XMAX,0,FTITEL,TEXT1,TEXT2)
ENDIF

C
IF (MODELL.EQ.3) THEN
FTITEL='SCHALLDRUCK NACH MODELL 3
RMAX=3
SMAX=3
RSMAX=(RMAX+1)*(SMAX+1)-1
KMAX=6
LMAX=4
KLMAX=KMAX*LMAX
CALL PFUNC(LUFT3,XMIN,XMAX,0,FTITEL,TEXT1,TEXT2)
ENDIF

C
IF (MODELL.EQ.4) THEN
FTITEL='SCHALLDRUCK NACH MODELL 4
RMAX=3
SMAX=3
RSMAX=(RMAX+1)*(SMAX+1)-1
KMAX=6
LMAX=4
KLMAX=KMAX*LMAX

```

      CALL PFUNC(LUFT4,XMIN,XMAX,0,FTITEL,TEXT1,TEXT2)
    ENDIF
10017 CONTINUE
C SCHLUSSAUFRUF PLOTTER
  CALL PLOT(0.0,0.0,999)
  STOP
  END
C*****
C UNTERPROGRAMME
C*****
  REAL FUNCTION OMEGA(K,L)
  COMMON /KONST/A,B,C,PI,VL,RHOLUFT,RHOQUADER,ETA,BCONST
  COMMON /PARAM/X0,Y0,Z0,MODELL
  COMMON /KLRS/KMAX,LMAX,KLMAX,RMAX,SMAX,RSMAX
  REAL A,B,C,PI,VL,RHOLUFT,RHOQUADER,ETA,BCONST,X0,Y0,Z0
  INTEGER KMAX,LMAX,KLMAX,RMAX,SMAX,RSMAX,K,L
  OMEGA=PI*PI*SQRT(BCONST/RHOQUADER)*( K*K/(A*A) + L*L/(B*B) )
  RETURN
  END
C
C -----
C
  REAL FUNCTION ALPHA(RS,K,L)
  COMMON /KONST/A,B,C,PI,VL,RHOLUFT,RHOQUADER,ETA,BCONST
  COMMON /PARAM/X0,Y0,Z0,MODELL
  COMMON /KLRS/KMAX,LMAX,KLMAX,RMAX,SMAX,RSMAX
  REAL A,B,C,PI,VL,RHOLUFT,RHOQUADER,ETA,BCONST,X0,Y0,Z0
  INTEGER KMAX,LMAX,KLMAX,RMAX,SMAX,RSMAX
  INTEGER R,S,K,L,RS
  II=SMAX+1
  R=INT(RS/FLOAT(II))
  S=MOD(RS,II)
  IF ((MOD( ((K-R)*(L-S)) ,2 )) .EQ. 0) THEN
    ALPHA=0
  ELSE
    IF ((R .EQ. 0) .OR. (S .EQ. 0)) FAKTOR=8
    IF ((R .EQ. 0) .AND. (S .EQ. 0)) FAKTOR=4
    IF ((R .NE. 0) .AND. (S .NE. 0)) FAKTOR=16
    ALPHA=FAKTOR*(K*L)/PI/PI/FLOAT(K*K-R*R)/FLOAT(L*L-S*S)
  ENDIF
  RETURN
  END
C
C -----
C
  COMPLEX FUNCTION KF(RS,X)
  COMMON /KONST/A,B,C,PI,VL,RHOLUFT,RHOQUADER,ETA,BCONST
  COMMON /PARAM/X0,Y0,Z0,MODELL
  COMMON /KLRS/KMAX,LMAX,KLMAX,RMAX,SMAX,RSMAX
  REAL A,B,C,PI,VL,RHOLUFT,RHOQUADER,ETA,BCONST,X0,Y0,Z0
  INTEGER KMAX,LMAX,KLMAX,RMAX,SMAX,RSMAX
  INTEGER R,S,RS
  REAL X,HELP
  II=SMAX+1
  R=INT(RS/FLOAT(II))
  S=MOD(RS,II)
  HELP= 4*PI*PI*X*X/VL/VL - R*R*PI*PI/A/A - S*S*PI*PI/B/B
  IF (HELP .GT. 0) THEN

```

```

      KF= CMPLX( SQRT(HI LP),0 )
    ELSE
      KF= CMPLX( 0,SQRT(-HELP))
    ENDIF
    RETURN
  END

```

```

C
C -----
C
REAL FUNCTION FF(K,L)
COMMON /KONST/A,B,C,PI,VL,RHOLUFT,RHOQUADER,ETA,BCONST
REAL A,B,C,PI,VL,RHOLUFT,RHOQUADER,ETA,BCONST,X0,Y0,Z0
INTEGER KMAX,LMAX,KLMAX,RMAX,SMAX,RSMAX
INTEGER K,L
REAL EPS1,EPS2
EPS1=2/3.
EPS2=1/2.
FF= 4/A/B * SIN(K*PI*EPS1) * SIN(L*PI*EPS2)
RETURN
END

```

```

C
C -----
C
REAL FUNCTION BETA(K,L,RS)
COMMON /KONST/A,B,C,PI,VL,RHOLUFT,RHOQUADER,ETA,BCONST
COMMON /PARAM/X0,Y0,Z0,MODELL
COMMON /KLRS/KMAX,LMAX,KLMAX,RMAX,SMAX,RSMAX
REAL A,B,C,PI,VL,RHOLUFT,RHOQUADER,ETA,BCONST,X0,Y0,Z0
INTEGER KMAX,LMAX,KLMAX,RMAX,SMAX,RSMAX
INTEGER K,L,R,S,RS
II=SMAX+1
R=INT(RS/FLOAT(II))
S=MOD(RS,II)
IF (MOD( ((K+R)*(L+S)) ,2) .EQ. 0 ) THEN
  BETA=0
ELSE
  BETA= 16*K*L / ( PI*PI * (K*K-R*R) * (L*L-S*S) )
ENDIF
RETURN
END

```

```

C
C -----
C
REAL FUNCTION LUFT1(X)
COMMON /PARAM/X0,Y0,Z0,MODELL
COMMON /KLRS/KMAX,LMAX,KLMAX,RMAX,SMAX,RSMAX
COMMON /KONST/A,B,C,PI,VL,RHOLUFT,RHOQUADER,ETA,BCONST
REAL A,B,C,PI,VL,RHOLUFT,RHOQUADER,ETA,BCONST,X0,Y0,Z0
INTEGER KMAX,LMAX,KLMAX,RMAX,SMAX,RSMAX
REAL X
INTEGER RI,SI,RSI
COMPLEX CSUM,CFAKTOR,C1,KF
CSUM=0
DO 11001 RSI=0,RSMAX
  CFAKTOR=CEXP(-KF(RSI,X)*CMPLX(0,Z0))
1  +CEXP(KF(RSI,X)*CMPLX(0,(Z0-2*C)))
  II=SMAX+1
  RI= INT(RSI/FLOAT(II))

```

```

      SI=MOD(RSI,II)
      CSUM= CSUM + CFAKTOR*COS(RI*PI*X0/A)*COS(SI*PI*Y0/B)*C1(X,RSI)
11001 CONTINUE
      LUFT1= SQRT( CSUM * CONJG(CSUM) )
      WRITE(2,*) X,LUFT1
      RETURN
      END

```

C
C-----
C

```

      REAL FUNCTION LUFT2A(X)
      COMMON /PARAM/X0,Y0,Z0,MODELL
      COMMON /KLRS/KMAX,LMAX,KLMAX,RMAX,SMAX,RSMAX
      COMMON /KONST/A,B,C,PI,VL,RHOLUFT,RHOQUADER,ETA,BCONST
      REAL A,B,C,PI,VL,RHOLUFT,RHOQUADER,ETA,BCONST,X0,Y0,Z0
      INTEGER KMAX,LMAX,KLMAX,RMAX,SMAX,RSMAX
      REAL X
      INTEGER RI,SI,RSI
      COMPLEX CSUM,CFAKTOR,C2A,KF
      CSUM=0
      DO 12001 RSI=0,RSMAX
      CFAKTOR=CEXP(-KF(RSI,X)*CMPLX(0,Z0))
1      +CEXP(KF(RSI,X)*CMPLX(0,(Z0-2*C)))
      II=SMAX+1
      RI= INT(RSI/FLOAT(II))
      SI=MOD(RSI,II)
      CSUM= CSUM + CFAKTOR*COS(RI*PI*X0/A)*COS(SI*PI*Y0/B)*C2A(X,RSI)
12001 CONTINUE
      LUFT2A= SQRT( CSUM * CONJG(CSUM) )
      RETURN
      END

```

C
C-----
C

```

      REAL FUNCTION LUFT2B(X)
      COMMON /PARAM/X0,Y0,Z0,MODELL
      COMMON /KLRS/KMAX,LMAX,KLMAX,RMAX,SMAX,RSMAX
      COMMON /KONST/A,B,C,PI,VL,RHOLUFT,RHOQUADER,ETA,BCONST
      REAL A,B,C,PI,VL,RHOLUFT,RHOQUADER,ETA,BCONST,X0,Y0,Z0
      INTEGER KMAX,LMAX,KLMAX,RMAX,SMAX,RSMAX
      REAL X
      INTEGER RI,SI,RSI
      COMPLEX CSUM,CFAKTOR,C2B(0:100),KF
      CALL GLGS2B(X,C2B)
      CSUM=0
      DO 13001 RSI=0,RSMAX
      CFAKTOR=CEXP(-KF(RSI,X)*CMPLX(0,Z0))
1      +CEXP(KF(RSI,X)*CMPLX(0,(Z0-2*C)))
      II=SMAX+1
      RI= INT(RSI/FLOAT(II))
      SI=MOD(RSI,II)
      CSUM= CSUM + CFAKTOR*COS(RI*PI*X0/A)*COS(SI*PI*Y0/B)*C2B(RSI)
13001 CONTINUE
      LUFT2B= SQRT( CSUM * CONJG(CSUM) )
      WRITE(2,*) X,LUFT2B
      RETURN

```


END

C
C
C

```
REAL FUNCTION LUFT3(X)
COMMON /AUFL/XALT,DIFF,ALTLUFT
COMMON /PARA/X0,Y0,Z0,MODELL
COMMON /KLRS/LMAX,LMAX,KLMAX,RMAX,SMAX,RSMAX
COMMON /KONST/A,B,C,PI,VL,RHOLUFT,RHOQUADER,ETA,DCONST
COMMON /CRSDRS/CRSA,DRSA
REAL A,B,C,PI,VL,RHOLUFT,RHOQUADER,ETA,DCONST,X0,Y0,Z0
INTEGER KMAX,LMAX,KLMAX,RMAX,SMAX,RSMAX
REAL X
INTEGER RI,SI,RSI
COMPLEX CSUM,CFAKTOR,C1,KF,EPLUS,EMINUS,CRS,DRS
COMPLEX CRSA(0:100),DRSA(0:100)
COMPLEX*16 ALSG(1:24),BLSG(1:24)
```

C
C
C

AUFLOESUNG VON "DIFF" HERTZ

```
IF (X.LT.(XALT+DIFF)) THEN
  LUFT3=ALTLUFT
  RETURN
ENDIF
XALT=X
```

C
C

CSUM=0

C
C

CALL GLGS3(X,ALSG,BLSG)

C
C

DO 14001 RSI=0,RSMAX

CRS=0

DRS=0

EPLUS=CEXP(CMPLX(0,C)*KF(RSI,X))

EMINUS=CEXP(-CMPLX(0,C)*KF(RSI,X))

DO 14002 JJ=1,KLMAX

CRS=CRS+ALPHA1(RSI,JJ)*(-EPLUS*CSNGL(ALSG(JJ))+CSNGL(BLSG(JJ)))

DRS=DRS+ALPHA1(RSI,JJ)*(-EMINUS*CSNGL(ALSG(JJ))+CSNGL(BLSG(JJ)))

14002

CONTINUE

CRS=CRS*CMPLX(0,1)*4*PI*PI*X*X*RHOLUFT/KF(RSI,X)/(EPLUS-EMINUS)

DRS=DRS*CMPLX(0,1)*4*PI*PI*X*X*RHOLUFT/KF(RSI,X)/(EPLUS-EMINUS)

C
C

II=SMAX+1

RI= INT(RSI/FLOAT(II))

SI=MOD(RSI,II)

CSUM= CSUM + COS(RI*PI*X0/A)*COS(SI*PI*Y0/B)

1 * (CRS*CEXP(-KF(RSI,X)*CMPLX(0,Z0))

2 +DRS*CEXP(KF(RSI,X)*CMPLX(0,Z0)))

CRSA(RSI)=CRS

DRSA(RSI)=DRS

14001

CONTINUE

C
C

LUFT3= SQRT(CSUM * CONJG(CSUM))

WRITE(2,*) X,LUFT3

ALTLUFT= LUFT3

RETURN

END

C
C

```

C -----
C
COMPLEX FUNCTION C1(X,RS)
COMMON /PARAM/XO,YO,ZO,MODELL
COMMON /KLRS/KMAX,LMAX,KLMAX,RMAX,SMAX,RSMAX
COMMON /KONST/A,B,C,PI,VL,RHOLUFT,RHOQUADER,ETA,BCONST
REAL A,B,C,PI,VL,RHOLUFT,RHOQUADER,ETA,BCONST,XO,YO,ZO
INTEGER KMAX,LMAX,KLMAX,RMAX,SMAX,RSMAX
REAL X,ALPHA,FF,OMEGA
INTEGER RS,KI,LI
COMPLEX CSUM,CFAKTOR,CNENNER,CZAEHLER,CHELP,KF
CSUM=0
DO 15001 KI=0,KMAX
DO 15002 LI=0,LMAX
CZAEHLER= ALPHA(RS,KI,LI) * FF(KI,LI)
CNENNER=CMPLX(1,-ETA)*OMEGA(KI,LI)**2-4*PI*PI*X*X
CSUM= CSUM + CZAEHLER/CNENNER
15002 CONTINUE
15001 CONTINUE
CZAEHLER=CMPLX(0,1)*4*PI*PI*X*X*RHOLUFT
CHELP=KF(RS,X)
CNENNER=CHELP*(CMPLX(1,0)-CEXP( CHELP*CMPLX(0,(-2*C))))
C1=CSUM*CZAEHLER/CNENNER/RHOQUADER
RETURN
END

```

```

C -----
C
COMPLEX FUNCTION C2A(X,RS)
COMMON /PARAM/XO,YO,ZO,MODELL
COMMON /KLRS/KMAX,LMAX,KLMAX,RMAX,SMAX,RSMAX
COMMON /KONST/A,B,C,PI,VL,RHOLUFT,RHOQUADER,ETA,BCONST
REAL A,B,C,PI,VL,RHOLUFT,RHOQUADER,ETA,BCONST,XO,YO,ZO
INTEGER KMAX,LMAX,KLMAX,RMAX,SMAX,RSMAX
REAL X,ALPHA,FF,OMEGA
INTEGER RS,KI,LI
COMPLEX CSUM1,CSUM2,CFAKTOR,CNENNER,CZAEHLER,CHELP,KF
CSUM1=0
CSUM2=0
DO 16001 KI=0,KMAX
DO 16002 LI=0,LMAX
CNENNER=CMPLX(1,-ETA)*OMEGA(KI,LI)**2-4*PI*PI*X*X
CZAEHLER= ALPHA(RS,KI,LI) * FF(KI,LI)
CSUM1= CSUM1 + CZAEHLER/CNENNER
CZAEHLER= ALPHA(RS,KI,LI) * BETA(KI,LI,RS)
CSUM2= CSUM2 + CZAEHLER/CNENNER
16002 CONTINUE
16001 CONTINUE
C
CZAEHLER= - CMPLX(0,1)*4*PI*PI*X*X*RHOLUFT*CSUM1
CNENNER= CSUM2 * (1+CEXP( KF(RS,X) * CMPLX(0,-2*C) ))
CNENNER= CNENNER * CMPLX(0,1)*4*PI*PI*X*X*RHOLUFT
CNENNER= CNENNER / KF(RS,X) / RHOQUADER
CNENNER= 1 - CEXP( KF(RS,X) * CMPLX(0,-2*C) ) - CNENNER
CNENNER= CNENNER * KF(RS,X) * RHOQUADER
C2A=CZAEHLER/CNENNER
RETURN
END

```

```

C
C -----
C
SUBROUTINE GLGS2B(X,C2B)
COMMON /KONST/A,B,C,PI,VL,RHOLUFT,RHOQUADER,ETA,ECONST
COMMON /PARAM/X0,Y0,Z0,MODELL
COMMON /KLRS/KMAX,LMAX,KLMAX,RMAX,SMAX,RSMAX
COMPLEX CSUM,CZAEHLER,CNENNER,C2B(0:100),CMATRIX(0:20,0:20),KF
COMPLEX IN2B(0:100),R2I
INTEGER N,N,I,KI,LI,K,L,II,JJ,RI,SI,RSI
INTEGER KMAX,LMAX,KLMAX,RMAX,SMAX,RSMAX
DO 17002 M=0,RSMAX
DO 17003 N=0,RSMAX
    CSUM=0
    DO 17004 KI=0,KMAX
    DO 17005 LI=0,LMAX
        CZAEHLER=ALPHA(M,KI,LI)*BETA(KI,LI,N)
        CNENNER =-4*PI*PI*X*X + CMPLX(1,-ETA) * (OMEGA(KI,LI)**2)
        CSUM=CSUM+CZAEHLER/CNENNER
17005 CONTINUE
17004 CONTINUE
        CSUM=CSUM * ( 1 + CEXP( KF(N,X) * CMPLX(0,-2*C) ) )
        CSUM=CSUM*CMPLX(0,1)*4*PI*PI*X*X*RHOLUFT/KF(M,X)/RHOQUADER
        CMATRIX(M,N)= - CSUM
17003 CONTINUE
        CMATRIX(M,M)=CMATRIX(M,M)+1-CEXP(KF(M,X)*CMPLX(0,-2*C))
17002 CONTINUE
C
C LSG DES GLEICHUNGSSYSTEMS: CMATRIX * C2B = IN2B
C
C UMSORTIEREN
C
C
    COMPLEX*16 MATRIX(1:9,1:9),INHOM(1:9,1:1),LSG(1:9,1:1)
    DO 17006 RI=0,RSMAX
    DO 17007 SI=0,RSMAX
        MATRIX(RI+1,SI+1)= CDBLE(CMATRIX(RI,SI))
17007 CONTINUE
17006 CONTINUE
C
C
    DO 17008 RSI=0,RSMAX
    INHOM(RSI+1,1)= CDBLE(R2B(X,RSI))
17008 CONTINUE
C
C
    IA=RSMAX+1
    IB=RSMAX+1
    IC=RSMAX+1
    IM=1
    IN=RSMAX+1
    REAL*8 WKSPACE(100)
    INTEGER IFAIL
C
C
    IFAIL=1
    CALL F04ADF(MATRIX,IA,INHOM,IB,IN,IM,LSG,IC,WKSPACE,IFAIL)
C
    IF (IFAIL .EQ. 0) GOTO 17010
    WRITE(2,*) ' --- SINGULAERES GLEICHUNGSSYSTEM ---'

```

STOP

```
C
17010 DO 17011 RI=1,RSMAX+1
      C2B(RI-1)=CSNGL(LSG(RI,1))
17011 CONTINUE
      RETURN
      END
```

C
C
C

```
COMPLEX FUNCTION R2B(X,RS)
COMMON /PARAM/XO,YO,ZO,MODELL
COMMON /KLRS/KMAX,LMAX,KLMAX,RMAX,SMAX,RSMAX
COMMON /KONST/A,B,C,PI,VL,RHOLUFT,RHOQUADER,ETA,BCONST
REAL A,B,C,PI,VL,RHOLUFT,RHOQUADER,ETA,BCONST,XO,YO,ZO
INTEGER KMAX,LMAX,KLMAX,RMAX,SMAX,RSMAX
REAL X,ALPHA,FF,OMEGA
INTEGER RS,KI,LI
COMPLEX CSUM,CFAKTOR,CNENNER,CZAEHLER,CHELP,KF
CSUM=0
DO 18001 KI=0,KMAX
DO 18002 LI=0,LMAX
CZAEHLER=ALPHA(RS,KI,LI)*FF(KI,LI)
CNENNER=CMPLX(1,-ETA)*OMEGA(KI,LI)**2-4*PI*PI*X*X
CSUM=CSUM+CZAEHLER/CNENNER
18002 CONTINUE
18001 CONTINUE
CZAEHLER=CMPLX(0,1)*4*PI*PI*X*X*RHOLUFT
CNENNER=KF(RS,X)*RHOQUADER
R2B=CSUM*CZAEHLER/CNENNER
RETURN
END
```

C
C
C

```
SUBROUTINE GLGS3(X,ALSG,BLSG)
COMMON /KONST/A,B,C,PI,VL,RHOLUFT,RHOQUADER,ETA,BCONST
COMMON /PARAM/XO,YO,ZO,MODELL
COMMON /KLRS/KMAX,LMAX,KLMAX,RMAX,SMAX,RSMAX
COMPLEX KF,CSUMM,CSUMN,EPLUS,EMINUS,CFAK,HELP1
COMPLEX*16 AMINUSN(1:24,1:24),BMINUSN(1:24,1:24)
COMPLEX*16 KOEFFM(1:24,1:24),MMATRIX(1:24,1:24)
COMPLEX*16 PROD1(1:24,1:24),PROD2(1:24,1:24),CSUM
COMPLEX*16 EMATRIX(1:24,1:24),ALSG(1:24),BLSG(1:24)
COMPLEX*16 INHOM1(1:24,1:1),INHOM2(1:24,1:1),INV(1:24,1:24)
COMPLEX*16 LSG(1:24,1:1)
REAL A,B,C,PI,VL,RHOLUFT,RHOQUADER,ETA,BCONST,XO,YO,ZO
INTEGER KMAX,LMAX,KLMAX,RMAX,SMAX,RSI
```

C
C
C

BERECHNUNG DER MATRIZEN

```
DO 19001 J=1,KLMAX
DO 19002 JSTR=1,KLMAX
CSUMM=CMPLX(0,0)
CSUMN=CMPLX(0,0)
DO 19003 RSI=0,RSMAX
HELP1=CMPLX(0,C)*KF(RSI,X)
EPLUS=CEXP(HELP1)
```

```

      EMINUS= CEXP(-HELP1)
      CFAK=ALPHA1(PRI,JSTR)*BETA1(J,RSI)/KF(RSI,X)/(EPLUS-EMINUS)
      CSUMM=CSUMM + 2*CFK
      CSUMN=CSUMN + (EPLUS+EMINUS)*CFK
19003 CONTINUE
      AMINUSN(J,JSTR)= -CDBLE(
1          CSUMN*CMPLX(0,1)*4*PI*PI*X*X*PHOLUFT/PHOQUADER)
      BMINUSN(J,JSTR)= -CDBLE(
1          CSUMN*CMPLX(0,1)*4*PI*PI*X*X*PHOLUFT/PHOQUADER)
      MMATRIX(J,JSTR)=CDBLE(
1          CSUMN*RHOLUFT*CMPLX(0,1)*4*PI*PI*X*X/RHOQUADER)
19002 CONTINUE
      AMINUSN(J,J)=AMINUSN(J,J)
1          +CDBLE(-9*PI*PI*X*X + CMPLX(1,-ETA)*OMEGA1(J)**2)
      BMINUSN(J,J)=BMINUSN(J,J)
1          +CDBLE(-4*PI*PI*X*X + CMPLX(1,-ETA)*OMEGA1(J)**2)
19001 CONTINUE
C-----
C HILFGROESSEN ZUM LOESEN DER GLEICHUNGSSYSTEME
C-----
      REAL*8 WKSPACE(100)
      INTEGER IFAIL

C
C EINHEITSMATRIX
C
      DO 19110 II=1,KLMAX
      DO 19111 JJ=1,KLMAX
      EMATRIX(II,JJ)=CDBLE(CMPLX(0,0))
19111 CONTINUE
      EMATRIX(II,II)=CDBLE(CMPLX(1,0))
19110 CONTINUE
C
      IA=KLMAX
      IB=KLMAX
      IC=KLMAX
      IM=KLMAX
      IN=KLMAX

C-----
C BERECHNUNG DES 1. GLEICHUNGSSYSTEMS
C-----
C
C INVERSE VON AMINUSN BERECHNEN
C
      IFAIL=1
      CALL F04ADF(AMINUSN,IA,EMATRIX,IB,IN,IM,INV,IC,WKSPACE,IFAIL)
      IF (IFAIL.NE.0) GOTO 19999
C
C MMATRIX * INVERSE AUSRECHNEN
C
      DO 19500 KI=1,KLMAX
      DO 19510 LI=1,KLMAX
      CSUM=CDBLE(CMPLX(0,0))
      DO 19520 II=1,KLMAX
      CSUM=CSUM+ MMATRIX(KI,II)*INV(II,LI)
19520 CONTINUE
      PROD1(KI,LI)= CSUM
19510 CONTINUE
19500 CONTINUE

```

```

C
C (MMATRIX * INVERSE) * MMATRIX AUSRECHNEN
C
  DO 19600 KI=1,KLMAX
  DO 19610 LI=1,KLMAX
    CSUM=CDBLE(CMPLX(0,0))
    DO 19620 II=1,KLMAX
      CSUM=CSUM+ PROD1(KI,II)*MMATRIX(II,LI)
19620   CONTINUE
    PROD2(KI,LI)=CSUM
19610   CONTINUE
19600   CONTINUE
C
C BMINUSN = MMATRIX * INVERSE * MMATRIX
C
  DO 19710 KI=1,KLMAX
  DO 19720 LI=1,KLMAX
    KOEFFM(KI,LI)= BMINUSN(KI,LI) - PROD2(KI,LI)
19720   CONTINUE
19710   CONTINUE
C
C INHOMOGENITAET = FF1 / RHOQUADER
C
  DO 19730 II=1,KLMAX
    INHOM1(II,1)= CDBLE(CMPLX((FF1(II)/RHOQUADER),0))
19730   CONTINUE
C
C LSG DES 1. GLEICHUNGSSYSTEMS
C
  IFAIL=1
  IM=1
  CALL F04ADF(KOEFFM,IA,INHOM1,IB,IN,IM,LSG,IC,WKSPCE,IFAIL)
  IF (IFAIL.NE.0) GOTO 19999
C
  DO 19410 II=1,KLMAX
    ALSG(II)=LSG(II,1)
19410   CONTINUE
C-----
C LSG DES 2. GLEICHUNGSSYSTEMS
C-----
C
C INHOMOGENITAET = - MMATRIX * ALSG
C
  DO 19810 KI=1,KLMAX
    CSUM=CDBLE(CMPLX(0,0))
    DO 19820 II=1,KLMAX
      CSUM=CSUM + MMATRIX(KI,II) * ALSG(II)
19820   CONTINUE
    INHOM2(KI,1)=-CSUM
19810   CONTINUE
C
  IFAIL=1
  CALL F04ADF(CAMINUSN,IA,INHOM2,IB,IN,IM,LSG,IC,WKSPCE,IFAIL)
  IF (IFAIL.NE.0) GOTO 19999
C
  DO 19300 II=1,KLMAX
    BLSG(II)=LSG(II,1)
19300   CONTINUE

```

```

C
RETURN
19999 WRITE(2,*) ' --- SINGULAERES GLEICHUNGSSYSTEM --- '
STOP
END

```

```

C
C -----
C
REAL FUNCTION OMEGA1(KL)
COMMON /KONST/A,B,C,PI,VL,RHOLUFT,RHOQUADER,ETA,BCONST
COMMON /PARAM/XO,YO,ZO,MODELL
COMMON /KLRS/KMAX,LMAX,KLMAX,RMAX,SMAX,RSMAX
REAL A,B,C,PI,VL,RHOLUFT,RHOQUADER,ETA,BCONST,XO,YO,ZO
INTEGER KMAX,LMAX,KLMAX,RMAX,SMAX,RSMAX
INTEGER K,L,KL
K=INT((KL-1)/FLOAT(LMAX))+1
L=MOD(KL,LMAX)
OMEGA1=PI*PI*SQRT(BCONST/RHOQUADER)*( K*K/(A*A) + L*L/(B*B) )
RETURN
END

```

```

C
C -----
C
REAL FUNCTION ALPHA1(RS,KL)
COMMON /KONST/A,B,C,PI,VL,RHOLUFT,RHOQUADER,ETA,BCONST
COMMON /PARAM/XO,YO,ZO,MODELL
COMMON /KLRS/KMAX,LMAX,KLMAX,RMAX,SMAX,RSMAX
REAL A,B,C,PI,VL,RHOLUFT,RHOQUADER,ETA,BCONST,XO,YO,ZO
INTEGER KMAX,LMAX,KLMAX,RMAX,SMAX,RSMAX
INTEGER K,L,KL,R,S,RS
II=SMAX+1
R=INT(RS/FLOAT(II))
S=MOD(RS,II)
K=INT((KL-1)/FLOAT(LMAX))+1
L=MOD(KL,LMAX)
IF ((MOD((K-R)*(L-S)),2)) .EQ. 0) THEN
  ALPHA1=0
ELSE
  IF ((R .EQ. 0) .OR. (S .EQ. 0)) FAKTOR=8
  IF ((R .EQ. 0) .AND. (S .EQ. 0)) FAKTOR=4
  IF ((R .NE. 0) .AND. (S .NE. 0)) FAKTOR=16
  ALPHA1=FAKTOR*(K*L)/PI/PI/FLOAT(K*K-R*R)/FLOAT(L*L-S*S)
ENDIF
RETURN
END

```

```

C
C -----
C
REAL FUNCTION FF1(KL)
COMMON /KONST/A,B,C,PI,VL,RHOLUFT,RHOQUADER,ETA,BCONST
REAL A,B,C,PI,VL,RHOLUFT,RHOQUADER,ETA,BCONST,XO,YO,ZO
COMMON /KLRS/KMAX,LMAX,KLMAX,RMAX,SMAX,RSMAX
INTEGER KMAX,LMAX,KLMAX,RMAX,SMAX,RSMAX
INTEGER K,L,KL
REAL EPS1,EPS2
EPS1=2/3.
EPS2=1/2.
K=INT((KL-1)/FLOAT(LMAX))+1

```

```

L=MOD(KL,LMAX)
FF1= 4/A/B * SIN(K*PI*EPS1) * SIN(L*PI*EPS2)
RETURN
END

```

```

C
C -----
C
REAL FUNCTION BETA1(KL,RS)
COMMON /KONST/A,B,C,PI,VL,RHOLUFT,RHOQUADER,ETA,ECONST
COMMON /PARAM/XO,YO,ZO,MODELL
COMMON /KLRS/KMAX,LMAX,KLMAX,RMAX,SMAX,RSMAX
REAL A,B,C,PI,VL,RHOLUFT,RHOQUADER,ETA,ECONST,XO,YO,ZO
INTEGER KMAX,LMAX,KLMAX,RMAX,SMAX,RSMAX
INTEGER K,L,R,S,RS,KL
II=SMAX+1
R=INT(RS/FLOAT(II))
S=MOD(RS,II)
K=INT((KL-1)/FLOAT(LMAX))+1
L=MOD(KL,LMAX)
IF (MOD( ((K+R)*(L+S)) ,2) .EQ. 0 ) THEN
  BETA1=0
ELSE
  BETA1= 16*K*L / ( PI*PI * (K*K-R*R) * (L*L-S*S) )
ENDIF
RETURN
END

```

```

C
C -----
C
REAL FUNCTION LUFT4(X)
COMMON /AUFL/XALT,DIFF,ALTLUFT
COMMON /KONST/A,B,C,PI,VL,RHOLUFT,RHOQUADER,ETA,ECONST
COMMON /PARAM/XO,YO,ZO,MODELL
COMMON /KLRS/KMAX,LMAX,KLMAX,RMAX,SMAX,RSMAX
REAL A,B,C,PI,VL,RHOLUFT,RHOQUADER,ETA,ECONST,XO,YO,ZO
INTEGER KMAX,LMAX,KLMAX,RMAX,SMAX,RSMAX,RI,SI,RSI
REAL X
COMPLEX CSUM,CFAK,KF1,KF1AC,KF1BC,W3,W4,W5,W6,P3,P4,P5,P6
COMPLEX LUC03,CHelp

```

```

C
C AUFLÖSUNG VON "DIFF" HERTZ
C

```

```

IF (X.LT.(XALT+DIFF)) THEN
  LUFT4=ALTLUFT
  RETURN
ENDIF
XALT=X

```

```

CHelp=LUC03(X)

```

```

CSUM=0
DO 20010 RI=0,RMAX
DO 20020 SI=0,SMAX
RSI=RI*(SMAX+1)+SI
KF1BC= KF1(RSI,X,B,C)
KF1AC= KF1(RSI,X,A,C)

```

```

CFAK=CCOS(KF1BC*XO)*W4(RI,SI,X)

```



```

1      -CMPLX(0,1)*CSIN(KF1BC*X0)*W3(RI,SI,X)
      CFAK=CFAK*COS(RI*PI*Y0/R)*COS(SI*PI*Z0/C)*4*PI*PI*X*X*RHOLUFT
      CSUM=CSUM+CFAK/KF1BC/CSIN(KF1BC*A)

```

C
C

```

      CFAK=CCOS(KF1AC*Y0)*W6(RI,SI,X)
1      -CMPLX(0,1)*CSIN(KF1AC*Y0)*W5(RI,SI,X)
      CFAK=CFAK*COS(RI*PI*Y0/A)*COS(SI*PI*Z0/C)*4*PI*PI*X*X*RHOLUFT
      CSUM=CSUM+CFAK/KF1AC/CSIN(KF1AC*B)

```

20020 CONTINUE

20010 CONTINUE

```

      CSUM=CSUM+CHELP
      LUFT4=SQRT(CSUM*CONJG(CSUM))
      ALTLUFT=LUFT4
      WRITE(2,*) X,LUFT4
      RETURN
      END

```

C
C
C

```

      REAL FUNCTION OMEGA2(K,L,AA,BB)
      COMMON /KONST/A,B,C,PI,VL,RHOLUFT,RHOQUADER,ETA,BCONST
      COMMON /PARAM/X0,Y0,Z0,MODELL
      COMMON /KLRS/KMAX,LMAX,KLMAX,RMAX,SMAX,RSMAX
      REAL A,B,C,PI,VL,RHOLUFT,RHOQUADER,ETA,BCONST,X0,Y0,Z0,AA,BB
      INTEGER KMAX,LMAX,KLMAX,RMAX,SMAX,RSMAX,K,L
      OMEGA2=PI*PI*SQRT(BCONST/RHOQUADER)*(K*K/(AA*AA)+L*L/(BB*BB))
      RETURN
      END

```

C
C
C

```

      COMPLEX FUNCTION KF1(RS,X,AA,BB)
      COMMON /KONST/A,B,C,PI,VL,RHOLUFT,RHOQUADER,ETA,BCONST
      COMMON /PARAM/X0,Y0,Z0,MODELL
      COMMON /KLRS/KMAX,LMAX,KLMAX,RMAX,SMAX,RSMAX
      REAL A,B,C,PI,VL,RHOLUFT,RHOQUADER,ETA,BCONST,X0,Y0,Z0,AA,BB
      INTEGER RMAX,SMAX,RSMAX
      INTEGER R,S,RS
      REAL X,HELP
      II=SMAX+1
      R=INT(RS/FLOAT(II))
      S=MOD(RS,II)
      HELP= 4*PI*PI*X*X/VL/VL - R*R*PI*PI/AA/AA - S*S*PI*PI/BB/BB
      IF (HELP.GT. 0) THEN
        KF1= CMPLX( SQRT(HELP),0 )
      ELSE
        KF1= CMPLX( 0,SQRT(-HELP))
      ENDIF
      RETURN
      END

```

C
C
C

```

      COMPLEX FUNCTION P3(R,S,X)
      COMMON /KLRS/KMAX,LMAX,KLMAX,RMAX,SMAX,RSMAX
      INTEGER R,S,RS,K,L,KMAX,LMAX,RMAX,SMAX,RSMAX,KLMAX
      COMMON /KONST/A,B,C,PI,VL,RHOLUFT,RHOQUADER,ETA,BCONST

```

```

COMMON /CRSDRS/CRSA,DRSA
COMPLEX CRSA(0:100),DRSA(0:100)
INTEGER TS,T
COMPLEX KF1,CSUM,CFAK,CTERM
REAL X
DO 99663 II=0,30
99663 CONTINUE
C
CSUM=0
DO 21010 T=0,RMAX
TS=T*(SMAX+1)+S
CTERM=KF1(TS,X,A,B)*C-R*PI
CFAK=CRSA(TS)*CEXP(-CMPLX(0,1)*CTERM)
1 -DRSA(TS)*CEXP(+CMPLX(0,1)*CTERM)
CSUM=CSUM+ CMPLX(0,1)/CTERM*CFAK
CTERM=KF1(TS,X,A,B)*C+R*PI
CFAK=CRSA(TS)*CEXP(-CMPLX(0,1)*CTERM)
1 -DRSA(TS)*CEXP(+CMPLX(0,1)*CTERM)
CSUM=CSUM+ CMPLX(0,1)/CTERM*CFAK
21010 CONTINUE
C
IF (R.EQ.0) THEN
P3=CSUM/2.
ELSE
P3=CSUM
ENDIF
RETURN
END

```

```

C
C -----
C
COMPLEX FUNCTION P4(R,S,X)
COMMON /KLRS/KMAX,LMAX,KLMAX,RMAX,SMAX,RSMAX
INTEGER R,S,RS,K,L,KMAX,LMAX,RMAX,SMAX,RSMAX,KLMAX
COMMON /KONST/A,B,C,PI,VL,RHOLUFT,RHOQUADER,ETA,BCONST
COMMON /CRSDRS/CRSA,DRSA
REAL A,B,C,PI,VL,RHOLUFT,RHOQUADER,ETA,BCONST,X0,Y0,Z0
COMPLEX CRSA(0:100),DRSA(0:100)
INTEGER TS,T
COMPLEX KF1,CSUM,CSUM1,CFAK,CTERM
REAL X
C
CSUM=0
DO 21020 T=0,RMAX
TS=T*(SMAX+1)+S
CTERM=KF1(TS,X,A,B)*C-R*PI
CFAK=CRSA(TS)*CEXP(-CMPLX(0,1)*CTERM)
1 -DRSA(TS)*CEXP(+CMPLX(0,1)*CTERM)
CSUM1=CMPLX(0,1)/CTERM*CFAK
CTERM=KF1(TS,X,A,B)*C+R*PI
CFAK=CRSA(TS)*CEXP(-CMPLX(0,1)*CTERM)
1 -DRSA(TS)*CEXP(+CMPLX(0,1)*CTERM)
CSUM1=CSUM1+ CMPLX(0,1)/CTERM*CFAK
CSUM=CSUM + (-1)**T*CSUM1
21020 CONTINUE
C
IF (R.EQ.0) THEN
P4=CSUM/2.

```

```

ELSE
  P4=CSUM
ENDIF
RETURN
END

```

C
C
C

```

COMPLEX FUNCTION P5(R,S,X)
COMMON /KLRS/KMAX,LMAX,KLMAX,RMAX,SMAX,RSMAX
INTEGER R,S,RS,K,L,KMAX,LMAX,RMAX,SMAX,RSMAX,KLMAX
COMMON /KONST/A,B,C,PI,VL,RHOLUFT,RHOQUADER,ETA,BCONST
COMMON /CRSDPS/CRSA,DRSA
COMPLEX CRSA(0:100),DRSA(0:100)
REAL A,B,C,PI,VL,RHOLUFT,RHOQUADER,ETA,BCONST,XO,YO,ZO
INTEGER RT,T
COMPLEX KF1,CSUM,CFAK,CTERM
REAL X

```

C

```

CSUM=0
DO 21030 T=0,SMAX
  RT=R*(SMAX+1)+T
  CTERM=KF1(RT,X,A,B)*C-S*PI
  CFAK=CRSA(RT)*CEXP(-CMPLX(0,1)*CTERM)
1  -DRSA(RT)*CEXP(+CMPLX(0,1)*CTERM)
  CSUM=CSUM+ CMPLX(0,1)/CTERM*CFAK
  CTERM=KF1(RT,X,A,B)*C+S*PI
  CFAK=CRSA(RT)*CEXP(-CMPLX(0,1)*CTERM)
1  -DRSA(RT)*CEXP(+CMPLX(0,1)*CTERM)
  CSUM=CSUM+ CMPLX(0,1)/CTERM*CFAK

```

21030 CONTINUE

C

```

IF (R.EQ.0) THEN
  P5=CSUM/2.
ELSE
  P5=CSUM
ENDIF
RETURN
END

```

C
C
C

```

COMPLEX FUNCTION P6(R,S,X)
COMMON /KLRS/KMAX,LMAX,KLMAX,RMAX,SMAX,RSMAX
INTEGER R,S,RS,K,L,KMAX,LMAX,RMAX,SMAX,RSMAX,KLMAX
COMMON /KONST/A,B,C,PI,VL,RHOLUFT,RHOQUADER,ETA,BCONST
COMMON /CRSDRS/CRSA,DRSA
REAL A,B,C,PI,VL,RHOLUFT,RHOQUADER,ETA,BCONST,XO,YO,ZO
COMPLEX CRSA(0:100),DRSA(0:100)
INTEGER RT,T
COMPLEX KF1,CSUM,CSUM1,CFAK,CTERM
REAL X

```

C

```

CSUM=0
DO 21040 T=0,SMAX
  RT=R*(SMAX+1)+T
  CTERM=KF1(RT,X,A,B)*C-S*PI
  CFAK=CRSA(RT)*CEXP(-CMPLX(0,1)*CTERM)

```

```

1      -DRSA(RT)*CEXP(+CMPLX(0,1)*CTERM)
      CSUM1=CMPLX(0,1)/CTERM*CFAK
      CTERM=KF1(PT,X,A,B)*C+S*PI
      CFAK=CRSA(RT)*CEXP(-CMPLX(0,1)*CTERM)
1      -DRSA(RT)*CEXP(+CMPLX(0,1)*CTERM)
      CSUM1=CSUM1+ CMPLX(0,1)/CTERM*CFAK
      CSUM= CSUM + (-1)**T*CSUM1

```

21040 CONTINUE

C

```

IF (R.EQ.0) THEN
  P6=CSUM/2.
ELSE
  P6=CSUM
ENDIF
RETURN
END

```

C

C-----

C

```

COMPLEX FUNCTION W3(R,S,X)
COMMON /KONST/A,B,C,PI,VL,RHOLUFT,RHOQUADER,ETA,BCONST
COMMON /KLRS/KMAX,LMAX,KLMAX,RMAX,SMAX,RSMAX
REAL A,B,C,PI,VL,RHOLUFT,RHOQUADER,ETA,BCONST,XO,YO,ZO
COMPLEX P3,CSUM1,CSUM2,CNENN,CZAEHL
INTEGER R,S,RS,K,L,KMAX,LMAX,RMAX,SMAX,RSMAX,KLMAX
REAL X
CSUM1=0
DO 23010 R=0,RMAX
DO 23020 S=0,SMAX
  CSUM2=0
  DO 23030 K=0,KMAX
  DO 23040 L=0,LMAX
    RS=R*(SMAX+1)+S
    CZAEHL=ALPHA(RS,K,L)*BETA(K,L,RS)*CMPLX(1,0)
    CNENN=-4*PI*PI*X*X+CMPLX(1,-ETA)*OMEGA2(K,L,B,C)
    CSUM2=CSUM2 + CZAEHL/CNENN
  23040 CONTINUE
  23030 CONTINUE
  CSUM1=CSUM1 + P3(R,S,X) * CSUM2
23020 CONTINUE
23010 CONTINUE
W3= - CSUM1
RETURN
END

```

23040 CONTINUE

23030 CONTINUE

CSUM1=CSUM1 + P3(R,S,X) * CSUM2

23020 CONTINUE

23010 CONTINUE

W3= - CSUM1

RETURN

END

C

C-----

C

```

COMPLEX FUNCTION W4(R,S,X)
COMMON /KONST/A,B,C,PI,VL,RHOLUFT,RHOQUADER,ETA,BCONST
COMMON /KLRS/KMAX,LMAX,KLMAX,RMAX,SMAX,RSMAX
COMPLEX P4,CSUM1,CSUM2,CNENN,CZAEHL
REAL A,B,C,PI,VL,RHOLUFT,RHOQUADER,ETA,BCONST,XO,YO,ZO
REAL X
INTEGER R,S,RS,K,L,KMAX,LMAX,RMAX,SMAX,RSMAX,KLMAX
CSUM1=0
DO 4010 R=0,RMAX
DO 24020 S=0,SMAX
  CSUM2=0

```

```

DO 24030 K=0,KMAX
DO 24040 L=0,LMAX
  RS=R*(SMAX+1)+S
  CZAHL=ALPHA(RS,K,L)*I*ETA(K,L,RS)*CMPLX(1,0)
  CNENN=-4*PI*PI*X*X+CMPLX(1,-ETA)*OMEGA2(K,L,D,C)*2/3.
  CSUM2=CSUM2 + CZAHL/CNENN
24040 CONTINUE
24030 CONTINUE
  CSUM1=CSUM1 + P4(R,S,X) * CSUM2
24020 CONTINUE
24010 CONTINUE
  W4= + CSUM1
  RETURN
END

```

C
C
C

```

COMPLEX FUNCTION W5(R,S,X)
COMMON /KONST/A,B,C,PI,VL,RHOLUFT,RHOQUADER,ETA,BCONST
COMMON /KLRS/KMAX,LMAX,KLMAX,RMAX,SMAX,RSMAX
COMPLEX P5,CSUM1,CSUM2,CNENN,CZAHL
INTEGER R,S,RS,K,L,KMAX,LMAX,RMAX,SMAX,RSMAX,KLMAX
REAL A,B,C,PI,VL,RHOLUFT,RHOQUADER,ETA,BCONST,X0,Y0,Z0
REAL X
CSUM1=0
DO 25010 R=0,RMAX
DO 25020 S=0,SMAX
  CSUM2=0
  DO 25030 K=0,KMAX
  DO 25040 L=0,LMAX
    RS=R*(SMAX+1)+S
    CZAHL=ALPHA(RS,K,L)*BETA(K,L,RS)*CMPLX(1,0)
    CNENN=-4*PI*PI*X*X+CMPLX(1,-ETA)*OMEGA2(K,L,A,C)
    CSUM2=CSUM2 + CZAHL/CNENN
25040 CONTINUE
25030 CONTINUE
  CSUM1=CSUM1 + P5(R,S,X) * CSUM2
25020 CONTINUE
25010 CONTINUE
  W5= - CSUM1
  RETURN
END

```

C
C
C

```

COMPLEX FUNCTION W6(R,S,X)
COMMON /KONST/A,B,C,PI,VL,RHOLUFT,RHOQUADER,ETA,BCONST
COMMON /KLRS/KMAX,LMAX,KLMAX,RMAX,SMAX,RSMAX
COMPLEX P6,CSUM1,CSUM2,CNENN,CZAHL
INTEGER R,S,RS,K,L,KMAX,LMAX,RMAX,SMAX,RSMAX,KLMAX
REAL A,B,C,PI,VL,RHOLUFT,RHOQUADER,ETA,BCONST,X0,Y0,Z0
REAL X
CSUM1=0
DO 26010 R=0,RMAX
DO 26020 S=0,SMAX
  CSUM2=0
  DO 26030 K=0,KMAX
  DO 26040 L=0,LMAX

```

```

      RS=R*(SMAX+1)+S
      CZAEHL=ALPHA(RS,K,L)*BETA(K,L,RS)*CMPLX(1,0)
      CNENN=-4*PI*PI*X*X*CMPLX(1,-ETA)*OMEGA2(F,L,U,C)*2/3.
      CSUM2=CSUM2 + CZAEHL/CNENN
26040  CONTINUE
26030  CONTINUE
      CSUM1=CSUM1 + P6(R,S,X) * CSUM2
26020  CONTINUE
26010  CONTINUE
      W6= + CSUM1
      RETURN
      END

```

C
C
C

```

COMPLEX FUNCTION LUC03(X)
COMMON /AUFL/XALT,DIFF,ALTLUFT
COMMON /PARAM/X0,Y0,Z0,MODELL
COMMON /KLRS/KMAX,LMAX,KLMAX,RMAX,SMAX,RSMAX
COMMON /KONST/A,B,C,PI,VL,RHOLUFT,RHOQUADER,ETA,BCONST
COMMON /CRSDRS/CRSA,DRSA
REAL A,B,C,PI,VL,RHOLUFT,RHOQUADER,ETA,BCONST,X0,Y0,Z0
INTEGER KMAX,LMAX,KLMAX,RMAX,SMAX,RSMAX
REAL X
INTEGER RI,SI,RSI
COMPLEX CSUM,CFAKTOR,C1,KF,EPLUS,EMINUS,CRS,DRS
COMPLEX CRSA(0:100),DRSA(0:100)
COMPLEX*16 ALSG(1:24),BLSG(1:24)

```

C
C
C

```

      CSUM=0
      CALL GLGS3(X,ALSG,BLSG)

```

```

      DO 29001 RSI=0,RSMAX
      CRS=0
      DRS=0
      EPLUS=CEXP(CMPLX(0,C)*KF(RSI,X))
      EMINUS=CEXP(-CMPLX(0,C)*KF(RSI,X))
      DO 29002 JJ=1,KLMAX
      CRS=CRS+ALPHA1(RSI,JJ)*(-EPLUS*CSNGL(ALSG(JJ))+CSNGL(BLSG(JJ)))
      DRS=DRS+ALPHA1(RSI,JJ)*(-EMINUS*CSNGL(ALSG(JJ))+CSNGL(BLSG(JJ)))
29002  CONTINUE
      CRS=CRS*CMPLX(0,1)*4*PI*PI*X*X*RHOLUFT/KF(RSI,X)/(EPLUS-EMINUS)
      DRS=DRS*CMPLX(0,1)*4*PI*PI*X*X*RHOLUFT/KF(RSI,X)/(EPLUS-EMINUS)

```

C

```

      II=SMAX+1
      RI= INT(RSI/FLOAT(II))
      SI=MOD(RSI,II)
      CSUM= CSUM + COS(RI*PI*X0/A)*COS(SI*PI*Y0/B)
1      *(CRS*CEXP(-KF(RSI,X)*CMPLX(0,Z0))
2      +DRS*CEXP(KF(RSI,X)*CMPLX(0,Z0)))

```

```

      CRSA(RSI)=CRS
      DRSA(RSI)=DRS

```

29001 CONTINUE

C

```

      LUC03=CSUM
      RETURN
      END

```